

التوصية ITU-R P.1239-4

(2023/08)

السلسلة P: انتشار الموجات الراديوية

**الخصائص الأيونوسفيرية المرجعية
لقطاع الاتصالات الراديوية**



تمهيد

يضطلع قطاع الاتصالات الراديوية بدور يتمثل في تأمين الترشيد والإنصاف والفعالية والاقتصاد في استعمال طيف الترددات الراديوية في جميع خدمات الاتصالات الراديوية، بما فيها الخدمات الساتلية، وإجراء دراسات دون تحديد مدى الترددات، تكون أساساً لإعداد التوصيات واعتمادها.

ويؤدي قطاع الاتصالات الراديوية وظائفه التنظيمية والسياسية من خلال المؤتمرات العالمية والإقليمية للاتصالات الراديوية وجمعيات الاتصالات الراديوية بمساعدة لجان الدراسات.

سياسة قطاع الاتصالات الراديوية بشأن حقوق الملكية الفكرية (IPR)

يرد وصف للسياسة التي يتبعها قطاع الاتصالات الراديوية فيما يتعلق بحقوق الملكية الفكرية في سياسة البراءات المشتركة بين قطاع تقسيس الاتصالات وقطاع الاتصالات الراديوية والمنظمة الدولية للتوكيد القياسي واللجنة الكهربائية الدولية (ITU-T/ITU-R/ISO/IEC) والمشار إليها في القرار 1. وترت الاستثمارات التي ينبغي لحاملي البراءات استعمالها لتقديم بيان عن البراءات أو للتصريح عن منح رخص في الموقع الإلكتروني حيث يمكن أيضاً الإطلاع على المبادئ التوجيهية الخاصة بتطبيق سياسة البراءات المشتركة وعلى قاعدة بيانات قطاع الاتصالات الراديوية التي تتضمن معلومات عن البراءات.

سلال توقيف قطاع الاتصالات الراديوية

(يمكن الإطلاع عليها أيضاً في الموقع الإلكتروني <http://www.itu.int/ITU-R/go/patents/en>)

العنوان	السلسلة
البث الساتلي	BO
التسجيل من أجل الإنتاج والأرشفة والعرض؛ الأفلام التلفزيونية	BR
الخدمة الإذاعية (الصوتية)	BS
الخدمة الإذاعية (التلفزيونية)	BT
الخدمة الثابتة	F
الخدمة المتنقلة وخدمة التحديد الراديوى للموقع وخدمة الهواة والخدمات الساتلية ذات الصلة	M
انتشار الموجات الراديوية	
علم الفلك الراديوى	RA
أنظمة الاستشعار عن بعد	RS
الخدمة الثابتة الساتلية	S
التطبيقات الفضائية والأرصاد الجوية	SA
تقاسم الترددات والتنسيق بين أنظمة الخدمة الثابتة الساتلية والخدمة الثابتة	SF
إدارة الطيف	SM
التجميع الساتلي للأخبار	SNG
إرسالات الترددات المعيارية وإشارات التوقيت	TF
المفردات والمواضيع ذات الصلة	V

ملاحظة: تمت الموافقة على النسخة الإنكليزية لمانه التوصية الصادرة عن قطاع الاتصالات الراديوية بموجب الإجراء الموضح في القرار 1 ITU-R.

التوصية ITU-R P.1239-4

الخصائص الأيونوسفيرية المرجعية لقطاع الاتصالات الراديوية

(ITU-R 212/3) (المسئلة 3)

(2023-2012-2009-2007-1997)

مجال التطبيق

تخدم هذه التوصية خواص وجدائل رقمية للقيم الوسطى الشهرية للخصائص الأيونوسفيرية ومعلومات متعلقة بالتغييرات الإحصائية.

مصطلحات أساسية

الخصائص الأيونوسفيرية، القيمة الوسطى للتباين الشهري

المختصرات/مسند مصطلحات

- f0F1: التردد الحرج في الطبقة F1 من الأيونوسفير (*Critical frequency at the F1 layer of the ionosphere*)
- f0F2: التردد الحرج في الطبقة F2 من الأيونوسفير (*Critical frequency at the F2 layer of the ionosphere*)
- f0FE: التردد الحرج في الطبقة F3 من الأيونوسفير (*Critical frequency at the F2 layer of the ionosphere*)
- R_{12} : متوسط عدد الكلف الشمسي لمدة 12 شهراً على التوالي (*12-month running mean sunspot number*)
- Φ : تدفق ضوء الراديو الشمسي بطول موجة يقارب 10 cm wavelength (*solar radio noise flux at about 10 cm wavelength*)

توصيات وتقديرات الاتحاد ذات الصلة

التوصية ITU-R P.371

التوصية ITU-R P.1144

ملاحظة - في كل حالة، ينبغي استخدام أحدث طبعة من التوصية/التقارير السارية.

إن جمعية الاتصالات الراديوية للاتحاد الدولي للاتصالات،

إذ تتضمن في اعتبارها

أن من الضروري توفر معطيات أيونوسferية مرجعية على المدى البعيد وطرائق تنبؤ لتصميم دارات الاتصالات الراديوية وتنظيم الخدمات وانتقاء نطاقات الترددات،

توصي

باستعمال العناصر المتضمنة في الملحق 1 للتباين بالخصائص الأيونوسferية.

الملحق 1

الخصائص الأيونوسفيرية

1 مدخل

يقترح هذا الملحق عبارات لتقدير القيم الوسطى الشهرية لـ $foF2$ و foE و $foF1$ و $foEs$ و $fbEs$ والقيم الشهرية الوسطى للعشرين الأدنى والأعلى لـ F . وهو يتضمن كذلك استعراضات للنسبة المئوية لظهور طبقة F المتداة. وتقدم هذه العبارات قيماً لكل موقع أو شهر أو ساعة من اليوم، لمختلف فترات الدورة الشمسيّة. في حالة foE و $foF1$ ، تُعطى صيغ تجريبية وفقاً لزاوية سمّت الشمس. أما بالنسبة للخصائص الأيونوسفيرية الأخرى، فتطبق تقنية رقمية لرسم الخرائط قائمة على الدوال المتعامدة لفورييه.

2 دوال رسم الخرائط

إن الشكل العام للدالة الرقمية للخريطة $\Omega(\lambda, \theta, T)$ هي السلسلة الزمنية لفورييه:

$$(1) \quad \Omega(\lambda, \theta, T) = a_0(\lambda, \theta) + \sum_{j=1}^H [a_j(\lambda, \theta) \cos jT + b_j(\lambda, \theta) \sin jT]$$

حيث:

Ω : خاصية أيونوسفيرية يجب رسماها بيانياً

λ : خط عرض جغرافي ($-90^\circ \leq \lambda \leq 90^\circ$)

θ : خط طول جغرافي شرقاً ($0^\circ \leq \theta \leq 360^\circ$) (0° بالدرجات شرق مستوى زوال غرينتش)

T : الوقت العالمي (UTC) معبراً عنده كزاوية ($-180^\circ \leq T \leq 180^\circ$)

H : العدد الأقصى من التوافقيات المستعملة لتمثيل التغيير النهاري.

إن معاملي فورييه $a_j(\lambda, \theta)$ و $b_j(\lambda, \theta)$ يتغيران مع الإحداثيات الجغرافية ويمثلان بواسطة سلاسل على شكل:

$$(2a) \quad a_j(\lambda, \theta) = \sum_{k=0}^K U_{2j,k} G_k(\lambda, \theta), \quad j = 0, 1, 2, \dots, H$$

$$(2b) \quad b_j(\lambda, \theta) = \sum_{k=0}^K U_{2j-1,k} G_k(\lambda, \theta), \quad j = 1, 2, \dots, H$$

يتم تحديد اختيار الدوال $G_k(\lambda, \theta)$ بضبط الأعداد الصحيحة $(k_0, k_1, k_2, \dots, k_i, \dots, k_m)$ حيث $k_m = K$ ، حيث i هي الترتيب في خط الطول. إذاً يمكن لخريطة رقمية أن تمثل بطريقة أكثر وضوحاً بواسطة الدالة:

$$(3) \quad \Omega(\lambda, \theta, T) = \sum_{k=0}^K U_{0k} G_k(\lambda, \theta) + \sum_{j=1}^H \left[\cos jT \sum_{k=0}^K U_{2j,k} G_k(\lambda, \theta) + \sin jT \sum_{k=0}^K U_{2j-1,k} G_k(\lambda, \theta) \right]$$

يمكن التعبير عن $U_{2j,k}$ و $U_{2j-1,k}$ في المعادلات (2a) و (2b) و (3) على شكل $U_{s,k}$ ، حيث s تقابل j أو $2j - 1$.

وفي تقنية الخرائط الرقمية، تم استعمال الميل المغنتيسي المعدل:

$$(4) \quad X = \arctan\left(\frac{I}{\sqrt{\cos \lambda}}\right)$$

حيث I هي الميل المغنتيسي و λ خط العرض الجغرافي. وتتوقف X على خط العرض وخط الطول الجغرافيين في آن واحد، وتبقى العبارة الشكلية $(T)(\lambda, \theta, T)$ ، المعادلة (3)، دون تغيير. يعطي الجدول 1 الدوال الجغرافية $G_k(\lambda, \theta)$.

يُستخدم نموذج مجال مغنتيسي أرضي لفترة 1960 على أساس تحليل كروي توافقي من الرتبة السادسة، لتحديد الميل المغنتيسي المعدل والتعدد السيكلوتوري المطلوب لتقييم الخرائط الرقمية. يجب استعمال الفترة 1960 بدلاً من فترة أخرى لأنها الفترة التي وُضعت من أجلها قيم المعاملات الرقمية.

الجدول 1

دوال التنسيق الجغرافية $G_k(\lambda, \theta)$

X تتوقف على λ و θ ، m هي الرتبة القصوى لخط الطول

$$q_0 = k_0; q_i (i = 1, m) = \frac{k_i - k_{i-1} - 2}{2}$$

m الرتبة في خط الطول	k	...	الرتبة الثانية في خط الطول	k	الرتبة الأولى في خط الطول	k	التغير الرئيسي بدلالة خط العرض	k
$\cos^m \lambda \cos m \theta$	$k_{m-1} + 1$...	$\cos^2 \lambda \cos 2 \theta$	$k_1 + 1$	$\cos \lambda \cos \theta$	$k_0 + 1$	1	0
$\cos^m \lambda \sin m \theta$	$k_{m-1} + 2$...	$\cos^2 \lambda \sin 2 \theta$	$k_1 + 2$	$\cos \lambda \sin \theta$	$k_0 + 2$	$\sin X$	1
$\sin X \cos^m \lambda \cos m \theta$	$k_{m-1} + 3$...	$\sin X \cos^2 \lambda \cos 2 \theta$	$k_1 + 3$	$\sin X \cos \lambda \cos \theta$	$k_0 + 3$	$\sin^2 X$	2
$\sin X \cos^m \lambda \sin m \theta$	$k_{m-1} + 4$...	$\sin X \cos^2 \lambda \sin 2 \theta$	$k_1 + 4$	$\sin X \cos \lambda \sin \theta$	$k_0 + 4$.	.

$\sin^q m X \cos^m \lambda \cos m \theta$	$k_m - 1$...	$\sin^q 2 X \cos^2 \lambda \cos 2 \theta$	$k_2 - 1$	$\sin^{q1} X \cos \lambda \cos \theta$	$k_1 - 1$	$\sin^{q0} X$	k_0
$\sin^q m X \cos^m \lambda \sin m \theta$	k_m	...	$\sin^q 2 X \cos^2 \lambda \sin 2 \theta$	k_2	$\sin^{q1} X \cos \lambda \sin \theta$	k_1		

يعطي الحث المغنتيسي F_x و F_y و F_z (غوس) على التوالي في الاتجاهات الجغرافية الشمالية والشرقية، وفي الاتجاه العمودي النازل، بواسطة المعادلات:

$$(5a) \quad F_x = \sum_{n=1}^6 \sum_{m=0}^n x_n^m [g_n^m \cos m \theta + h_n^m \sin m \theta] R^{n+2}$$

$$(5b) \quad F_y = \sum_{n=1}^6 \sum_{m=0}^n y_n^m [g_n^m \sin m \theta - h_n^m \cos m \theta] R^{n+2}$$

$$(5c) \quad F_z = \sum_{n=1}^6 \sum_{m=0}^n z_n^m [g_n^m \cos m \theta + h_n^m \sin m \theta] R^{n+2}$$

حيث:

$$(6a) \quad x_n^m = \frac{d}{d\varphi} \left(P_{n,m} (\cos \varphi) \right)$$

$$(6b) \quad y_n^m = m \cdot \frac{P_{n,m} (\cos \varphi)}{\sin \varphi}$$

$$(6c) \quad z^{m;n} = - (n + 1) P_{n,m} (\cos \varphi)$$

مع:

φ : خط العرض المشترك الشمالي ($\lambda = 90^\circ$ =)، حيث λ تدل على خط العرض الجغرافي (بالدرجات)
 $((-90^\circ \leq \lambda \leq 90^\circ))$

$P_{n,m} (\cos \varphi)$: دالة لوجندر المصاحبة، معرفة على النحو التالي:

$$(7) \quad P_{n,m} (\cos \varphi) = \sin^m \varphi \left[\cos^{n-m} \varphi - \frac{(n - m)(n - m - 1)}{2(2n - 1)} \cos^{n-m-2} \varphi + \right. \\ \left. \frac{(n - m)(n - m - 1)(n - m - 2)(n - m - 3)}{(2)(4)(2n - 1)(2n - 3)} \cos^{n-m-4} \varphi + \dots \right]$$

${}_n^m h$: المعاملات الرقمية المتعلقة بنموذج المجال (غوس)

R : عامل التناصبية بدلالة الارتفاع، يعطى بواسطة:

$$(8) \quad R = \frac{6371.2}{6371.2 + h_r}$$

حيث:

h_r : الارتفاع الذي يقيم عنده المجال (يؤخذ على أنه يساوي 300 km).

يعطى المجال المغناطيسي الإجمالي، F ، بواسطة:

$$(9) \quad F = \sqrt{F_x^2 + F_y^2 + F_z^2}$$

يعطى الميل المغناطيسي I والتعدد السيكلوتروني، (f_H) (MHz)، بواسطة:

$$(10) \quad I = \tan^{-1} \left(\frac{F_z}{\sqrt{F_x^2 + F_y^2}} \right)$$

و

$$(11) \quad f_H = 2.8 F$$

3 التنبؤ بـ $M(3000)F2$ و $foF2$

1.3 القيم المتوسطة الشهرية

تقوم الخرائط الرقمية للطبقة F2 على معطيات سبر أيونوسفيري عمودي تُجرى في عدد كبير من المحطات الأرضية المنتشرة في العالم أجمع. وتقوم مجموعات المعاملات الرقمية التي تحدد التغيرات النهارية والجغرافية للقيم الوسطية الشهرية L $foF2$ و $M(3000)F2$ على علاقة خطية مع النشاط الشمسي¹. والمعاملات هي قيم $U_{s,k}$ (انظر المعادلين (2) و (3)) التي تحدد الدالة (λ, θ, T) Ω للخريطة الرقمية للخصائص المعطاة لشهر وسوية النشاط الشمسي المعينين. هذه المعاملات متيسرة لكل شهر في السنة، ولسوبيّ النشاط الشمسي $0 = R_{12} = R_{12}$ و $100 = R_{12}$ هي القيمة المتوسطة على موراثي عشر شهرًا للأعداد الشهيرية للكلف الشمسي على النحو الموصوف في التوصية ITU-R P.371 وهي تُستعمل كمؤشر لسوية النشاط الشمسي. وفي هذه الحالة، يثبت عامل المرصد k المستخدم لحساب R_{12} (انظر التوصية ITU-R P.371) بقيمة 0,6 (اصطلاح الصيغة 1). وقد يكون من المناسب أكثر في بعض التطبيقات لو استعملنا جداول grid-point من أجل الخصائص الأيونوسفيرية بدلاً من تطبيق المعادلة (1). وبرامج الحاسوب المستعملة في حساب هذه الجداول من أجل $foF2$ و $M(3000)F2$ موجودة على موقع الويب الخاص بلجنة الدراسات 3 للاتصالات الراديوية بحيث يمكن إجراء الحساب من خلال خطوتين برمجيتين تبادلتين. والجدوال الناتجة لكل من $foF2$ و $M(3000)F2$ باستعمال برنامج من البرامج الحاسوبية المذكورة أعلاه متاحة أيضاً على موقع الويب الخاص بلجنة الدراسات 3 للاتصالات الراديوية. ولتقدير المعلمات بين النقاط الشبكية بالجدوال، يستعمل إجراء الاستكمال الداخلي ثنائي الخطية الموجود بالتوصية ITU-R P.1144 (الملحق 1).

بالنسبة لمعظم التطبيقات، يكفي الاعتراف بأن تغيرات $foF2$ و $M(3000)F2$ بدلالة R_{12} خطية. لكن العلاقة بين R_{12} و $foF2$ لا تبقى خطية بالنسبة لسوية النشاط الشمسي التي تكون بدلالة الموقع الجغرافي والساعة والفصل. والانحراف الأكثر حساسية بالنسبة للخطية يظهر لقيم R_{12} الأكبر من حوالي 160. إذا كانت قيمة R_{12} أعلى من 160، يمكن تخفيض الخطأ باعتبار أنها تساوي 160. والعلاقة بين R_{12} و $M(3000)F2$ كذلك خطية بالنسبة لقيم النشاط الشمسي حتى $160 = R_{12}$. فيما يخص قيمة R_{12} أعلى، تكون قيمة $M(3000)F2$ هي تلك الحصول عليها من أجل $160 = R_{12}$.

2.3 عوامل التغير

يعرض الجدولان 2 و 3 العوامل العشرية لوصف التغيرات اليومية لقيم $foF2$ خلال شهر. ويتعلق هذان الجدولان بالوقت المحلي وخط العرض الجغرافي في نقطة المراقبة. ويعطى الجدولان ثلاثة أمدية من الكلف الشمسي R_{12} ، وثلاثة فصول:

- الشتاء: من نوفمبر إلى فبراير في النصف الشمالي من الكره الأرضية ومن مايو إلى أغسطس في نصفها الجنوبي.
- الاعتدال: مارس وأبريل وسبتمبر وأكتوبر
- الصيف: من مايو إلى أغسطس في النصف الشمالي من الكره الأرضية ومن نوفمبر إلى فبراير في نصفها الجنوبي.

وقد تجري عملية استقطاب داخلي بمحطتين بين نقاط الجدول.

4 التنبؤ بـ foE

تقوم طريقة التنبؤ بالوسطية الشهرية L foE على كل المعطيات المشورة للسنوات 1944-1973 للمحطات الأيونوسفيرية الخمسة وخمسين. تُعطى foE (MHz) بواسطة:

$$(12) \quad (foE)^4 = A B C D$$

¹ توفر العديد من مجموعات المعاملات المختلفة. والمجموعة الموصى بها هي تلك التي وافقت عليها الجلسة العامة للجنة CCIR، أوسلو، 1966.

حيث:

A: عامل النشاط الشمسي، يعطى بواسطة:

$$(13) \quad A = 1 + 0.0094 (\Phi - 66)$$

Φ : المتوسط الشهري للتدفق الراديوسي الشمسي على $10,7 \text{ cm}^{-2} \text{ Hz}^{-1}$ ، معبراً عنه بالوحدات $10^{-22} \text{ W m}^{-2}$.

بالنسبة لحالات التنبؤ، يمكن استعمال تقرير Φ قائم على تقدير Φ_{12} ، القيمة المنتظمة على مر 12 شهراً (انظر التوصية 371 ITU-R).

B: عامل التغير الفصلي، يعطى بواسطة:

$$(14) \quad B = \cos^m N$$

حيث:

$$N = \lambda - \delta \text{ for } |\lambda - \delta| < 80^\circ, \text{ and } N = 80^\circ \text{ for } |\lambda - \delta| \geq 80^\circ$$

λ : خط العرض الجغرافي (موجب في نصف الكرة الشمالي)

δ : قوس ميل الشمس (قوس ميل موجب للشمال).

الأوس m دالة لخط العرض الجغرافي، λ :

$$(15a) \quad m = -1.93 + 1.92 \cos \lambda \quad \text{for } |\lambda| < 32^\circ$$

أو:

$$(15b) \quad m = 0.11 - 0.49 \cos \lambda \quad \text{for } |\lambda| \geq 32^\circ$$

C: العامل الرئيسي لخط العرض، يعطى بواسطة:

$$(16a) \quad C = X + Y \cos \lambda$$

حيث:

$$(16b) \quad X = 23, \quad Y = 116 \quad \text{for } |\lambda| < 32^\circ$$

أو:

$$(16c) \quad X = 92, \quad Y = 35 \quad \text{for } |\lambda| \geq 32^\circ$$

D: عامل يأخذ بعين الاعتبار ساعة اليوم.

الحالة الأولى: $\chi \leq 73^\circ$

$$(17a) \quad D = \cos^p \chi$$

حيث χ هي المسافة السمتية للشمس (بالدرجات). بالنسبة $\begin{cases} p = 1,31 & \text{لـ } 12^\circ \leq |\lambda| \leq 12^\circ \\ p = 1,20 & \text{لـ } |\lambda| > 12^\circ \end{cases}$

الحالة الثانية: $73^\circ < \chi < 90^\circ$

$$(17b) \quad D = \cos^p (\chi - \delta\chi)$$

حيث:

$$(17c) \quad \delta\chi = 6.27 \times 10^{-13} (\chi - 50)^8 \quad \text{degrees}$$

مع كون p محددة كما في الحالة الأولى.

الحالة الثالثة: $\chi \geq 90^\circ$

عندما تكون χ تساوي أو أكبر من 90° ، تُؤخذ في الليل كقيمة D أكبر القيم المعطاة بواسطة العبارات التالية:

$$(17d) \quad D = (0.072)^p \exp(-1.4 h)$$

أو:

$$(17e) \quad D = (0.072)^p \exp(25.2 - 0.28 \chi)$$

حيث h هي عدد الساعات المنقضية منذ غروب الشمس ($\chi = 90^\circ$). في ظروف الشتاء القطبي، حيث الشمس لا تطلع، يتعين استعمال المعادلة (17e). وقيمة p هي نفسها في الحالة الأولى.

يُعطى القيمة الدنيا لـ foE بواسطة:

$$(18) \quad (foE)^4_{minimum} = 0.004 (1 + 0.021 \Phi)^2$$

حيث يُؤخذ تقدير Φ كتقريب R_{12} .

ليلاً، إذا كانت قيمة foE المحسوبة وفقاً للمعادلتين (12) و(17e) أصغر من تلك التي تعطيها الصيغة (18)، فإن هذه الأخيرة هي التي يجب أن تُؤخذ.

أظهرت اختبارات لدقة هذه الطريقة أن متوسط انحراف غطي يبلغ $0,11 \text{ MHz}$ لقاعدة معطيات تقابل أكثر من 80 000 مقارنات ساعية للمحطات المدروسة الخامسة والخمسين.

5 التنبؤ بـ foF1

تقوم العبارات التي تسمح بالتنبؤ بالقيمة المتوسطة الشهرية لـ $foF1$ على المعطيات المسجلة من 1954 إلى 1966 في 39 محطة أيونوسفيرية تقع في نصف الكرة الأرضية.

يُعطى عبارة (MHz) $foF1$ بواسطة:

$$(19) \quad foF1 = f_s \cos^n \chi$$

حيث:

$$\begin{aligned} f_s &= f_{s_0} + 0.01 (f_{s_{100}} - f_{s_0}) R_{12} \\ f_{s_0} &= 4.35 + 0.0058 \lambda - 0.000120 \lambda^2 \\ f_{s_{100}} &= 5.35 + 0.0110 \lambda - 0.000230 \lambda^2 \\ n &= 0.093 + 0.00461 \lambda - 0.0000540 \lambda^2 + 0.00031 R_{12} \end{aligned}$$

حيث خط العرض المغناطيسي الأرضي λ ، المعبر عنه بالدرجات، والمعتبر موجباً في نصف الكرة الأرضية، يُعطى بواسطة:

$$\lambda = |\arcsin[\sin g_0 \cdot \sin g + \cos g_0 \cdot \cos g \cdot \cos(\theta_0 - \theta)]|$$

حيث:

g : خط العرض الجغرافي للموقع ذي الأهمية

g_0 : خط العرض الجغرافي للقطب المغناطيسي الأرضي الشمالي ($78,3^\circ$ شمالاً)

θ : خط الطول الجغرافي للموقع ذي الأهمية

θ_0 : خط الطول الجغرافي للقطب المغناطيسي الأرضي الشمالي ($69,0^\circ$ غرباً).

إن المسافة السمتية القصوى للشمس التي تكون عندها الطبقه F1 (انظر كذلك الشكلين 1 و2) تُعطى بواسطة العبارات التالية:

$$(20) \quad \chi_m = \chi_0 + 0.01 (\chi_{100} - \chi_0) R_{12} \quad \text{degrees}$$

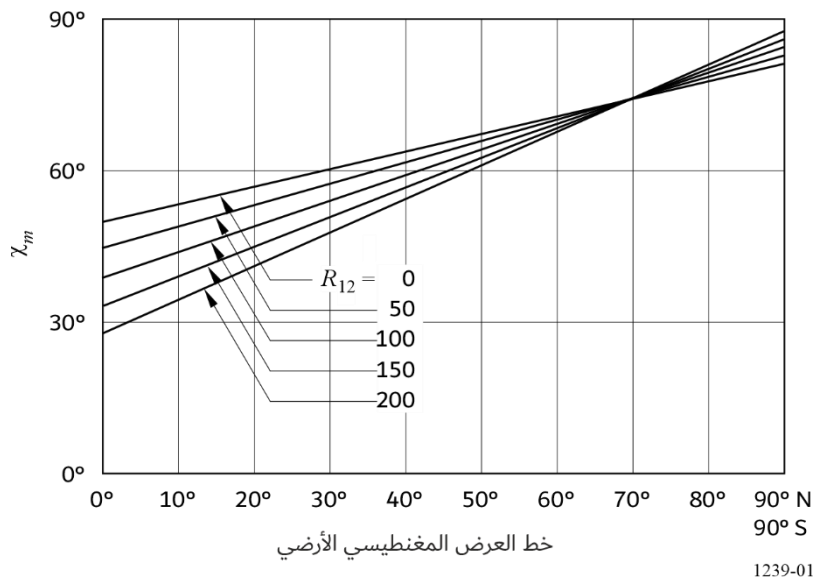
حيث:

$$\chi_0 = 50.0 + 0.348 \lambda$$

$$\chi_{100} = 38.7 + 0.509 \lambda$$

الشكل 1

تغير χ_m بدلالة خط العرض المغناطيسي الأرضي R_{12}



1239-01

6 التنبؤ بـ foEs و fbEs

توفر مجموعة من المعاملات الرقمية التي تحدد التغيرات النهارية والجغرافية والشهرية للقيم المتوسطة والقيم العشرية الدنيا والعليا لـ foEs لسنة من النشاط الشمسي الأدنى وسنة من النشاط الشمسي الأقصى، وكذلك مجموعة من المعاملات الرقمية التي تحدد تغيرات القيم المتوسطة والقيم العشرية الدنيا والعليا لـ fbEs (تردد حجب E المتفرقة)، لسنة من النشاط الشمسي الأدنى.

7 التنبؤ بـ h'F, F2 و h'F

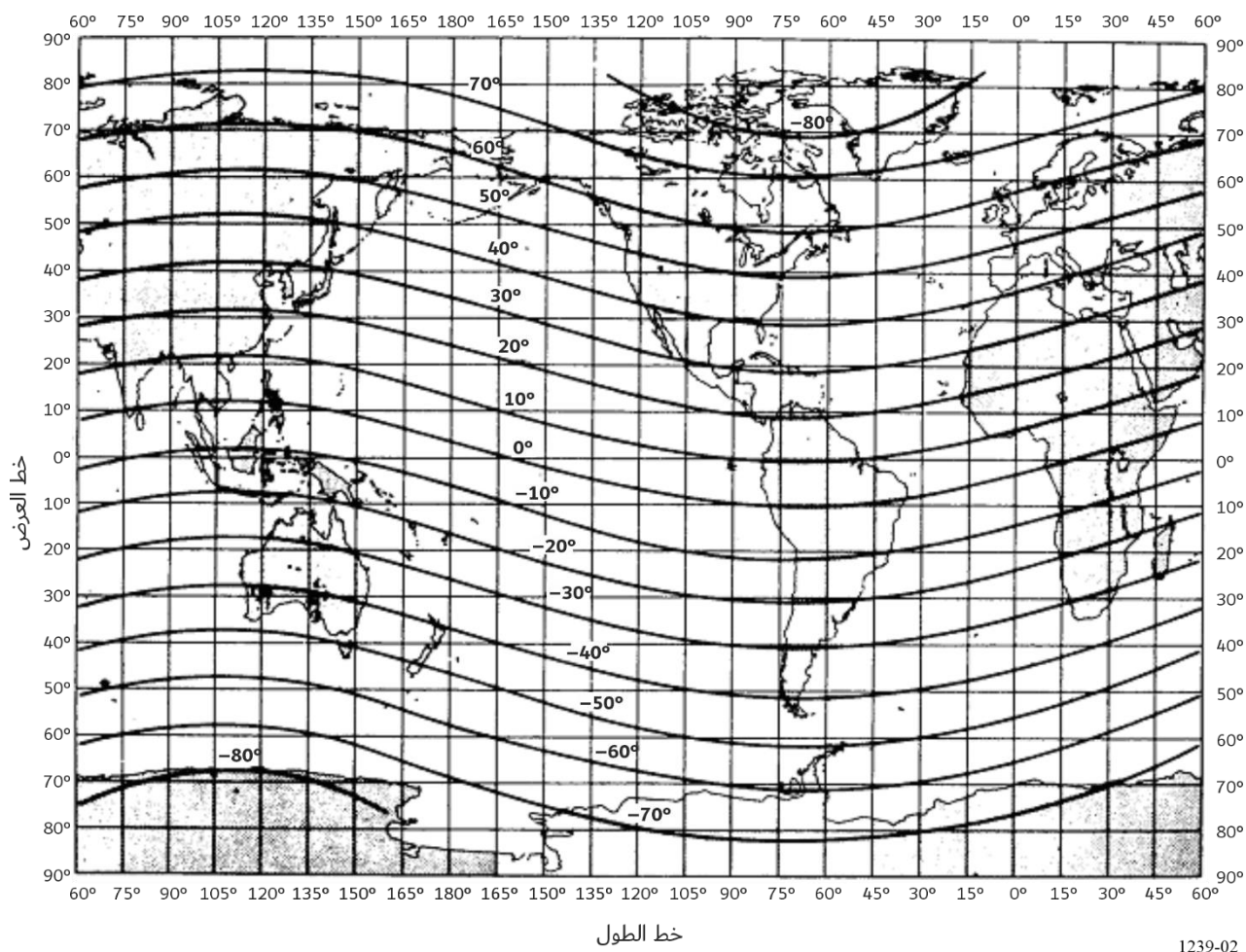
تم وضع خرائط رقمية للقيم المتوسطة الشهرية لـ $h'F$ ، على أساس شهري، ولسنوات نشاط شمسي أقصى وأدنى، علماً بأن $h'F$ هي الارتفاع التقديري الأدنى الملاحظ لانعكاسات الإشارات ذات الورود العمودي من الإقليم F (على العموم من الطبقه F2 بالليل ومن الطبقه F1 خلال النهار). وتم كذلك وضع خرائط رقمية لـ $h'F, F2$ ل السنوات نشاط شمسي أقصى وأدنى. $h'F, F2$ هي الارتفاع التقديري الأدنى الملاحظ لانعكاسات الإشارات ذات الورود العمودي من الطبقه F ليلاً والطبقه F2 نهاراً.

8 التنبؤ بالنسبة المئوية لحدوث F الممتدة

تم تحديد النسبة المئوية لحدوث F الممتدة، على أساس شهري، انطلاقاً من معطيات أيونوسفيرية قادمة من الشبكة العالمية للمسابير الأيونوسفيرية ذات الورود العمودي، لسنة مميزة لسوية مرتفعة للنشاط الشمسي ولسنة ذات نشاط شمسي منخفض. وتم تمثيل هذه القيم رقماً بواسطة تقنية لرسم الخرائط.

الشكل 2

خطوط العرض المغناطيسي الأرضي



1239-02

9 البرامج الحاسوبية والمعطيات المرجعية المتيسرة

الإجراءات الموصوفة في هذا الملحق متقدمة في برنامجي الحاسوب WMAP و HRMNTH، لأماكن تقع في إقليم جغرافي محدد، قيم الخصائص الأيونوسفيرية المختارة لوقت عالمي وشهر واحد وفترة نشاط شمسي معينة. ويعرض البرنامج التكميلي HRMNTH الخصائص الأيونوسferية المتقدمة لموقع وسنة معينين، وفقاً لوقت العالمي، لكل شهر ولكل فترة نشاط شمسي مصاحب.

ويمكن الاطلاع على ملفات المعاملات البالغ عددها 12 ملفاً، ملف لكل شهر، على موقع الويب للجنة الدراسات 3 للاتصالات الراديوية. وبتحتوي كل ملف على معاملات لكل من foF2 وfoEs وfoE_M(3000) وfoF₂ وfoE_S وfoE_M(3000) وfoE₂ والخانة العشرية الأعلى من h'F وh'F₂ وh'F₁ وh'F₀ عند مستويين من النشاط الشمسي، $R_{12} = 0$ و $R_{12} = 100$. وكل مجموعة من المعاملات تتتألف من صفيح k تستعمل لحساب G_k في الجدول 1 ومعاملات $U_{s,k}$ المقابلة المستعملة في تحديد الصفيحين a_j و b_j في المعادلة 1. وقت الموافقة على هذه المعاملات في الجلسة العامة للجنة الاستشارية الدولية للاتصالات الالكترونية (CCIR) باؤسلو، 1966.

وجداول Grid-Point لكل من foF2 وfoF₂ وfoE_S وfoE_M(3000) عند استبابة $1,5^{\circ}$ لكل 24 ساعة للقيم الشهرية المتوسطة متاحة على موقع الويب للجنة الدراسات 3 للاتصالات الراديوية.

الجدول 2

العوامل العشرية الدنيا لتغيرات f_0F_2 في الشهر

أ) تغير R_{12} : القيمة العشرية الدنيا، شتاءً، $50 <$

الجدول 2 (تابع)

ب) تغير f_0F2 : القيمة العشرية الدنيا، شتاءً، $50 \leq R12 \leq 100$

الوقت المحلي (بالساعات)																							خط العرض	
23	22	21	20	19	18	17	16	15	14	13	12	11	10	09	08	07	06	05	04	03	02	01	00	
0,70	0,70	0,70	0,70	0,70	0,70	0,70	0,70	0,70	0,70	0,70	0,70	0,70	0,70	0,70	0,70	0,70	0,70	0,70	0,70	0,70	0,70	0,70	°90	
0,73	0,72	0,70	0,70	0,70	0,68	0,66	0,66	0,66	0,67	0,68	0,68	0,68	0,69	0,69	0,69	0,69	0,72	0,74	0,74	0,74	0,74	0,73	0,73	°85
0,76	0,73	0,70	0,70	0,70	0,66	0,62	0,62	0,62	0,64	0,67	0,67	0,67	0,68	0,68	0,68	0,68	0,73	0,78	0,78	0,78	0,77	0,76	0,76	°80
0,78	0,75	0,72	0,72	0,72	0,70	0,68	0,68	0,68	0,68	0,68	0,68	0,68	0,70	0,71	0,71	0,71	0,76	0,80	0,80	0,80	0,79	0,78	0,78	°75
0,79	0,76	0,73	0,73	0,73	0,73	0,73	0,73	0,73	0,72	0,70	0,70	0,70	0,72	0,74	0,74	0,74	0,78	0,81	0,81	0,81	0,80	0,79	0,79	°70
0,80	0,77	0,74	0,74	0,74	0,75	0,76	0,76	0,76	0,74	0,72	0,72	0,72	0,74	0,76	0,76	0,76	0,79	0,82	0,82	0,82	0,81	0,80	0,80	°65
0,82	0,79	0,76	0,76	0,76	0,78	0,80	0,80	0,80	0,78	0,75	0,75	0,75	0,77	0,79	0,79	0,79	0,81	0,83	0,83	0,83	0,82	0,82	0,82	°60
0,83	0,80	0,77	0,77	0,77	0,80	0,82	0,82	0,82	0,80	0,78	0,78	0,78	0,80	0,81	0,81	0,81	0,82	0,82	0,82	0,82	0,82	0,83	0,83	°55
0,84	0,81	0,78	0,78	0,78	0,81	0,84	0,84	0,84	0,82	0,81	0,81	0,81	0,82	0,83	0,83	0,83	0,82	0,82	0,82	0,82	0,83	0,84	0,84	°50
0,84	0,81	0,78	0,78	0,78	0,82	0,85	0,85	0,85	0,84	0,84	0,84	0,84	0,84	0,84	0,84	0,84	0,83	0,82	0,82	0,82	0,83	0,84	0,84	°45
0,83	0,81	0,79	0,79	0,79	0,82	0,86	0,86	0,86	0,86	0,86	0,86	0,86	0,86	0,85	0,85	0,85	0,83	0,81	0,81	0,81	0,82	0,83	0,83	°40
0,80	0,79	0,78	0,78	0,78	0,82	0,86	0,86	0,86	0,86	0,86	0,86	0,86	0,86	0,85	0,85	0,85	0,82	0,78	0,78	0,78	0,79	0,80	0,80	°35
0,78	0,78	0,78	0,78	0,78	0,82	0,85	0,85	0,85	0,85	0,85	0,85	0,85	0,85	0,85	0,85	0,85	0,80	0,76	0,76	0,76	0,77	0,78	0,78	°30
0,76	0,76	0,77	0,77	0,77	0,80	0,84	0,84	0,84	0,84	0,84	0,84	0,84	0,85	0,85	0,85	0,85	0,80	0,74	0,74	0,74	0,75	0,76	0,76	°25
0,74	0,75	0,76	0,76	0,76	0,79	0,82	0,82	0,82	0,82	0,83	0,83	0,83	0,84	0,85	0,85	0,85	0,78	0,71	0,71	0,71	0,72	0,74	0,74	°20
0,76	0,76	0,77	0,77	0,77	0,80	0,84	0,84	0,84	0,84	0,84	0,84	0,84	0,85	0,85	0,85	0,86	0,86	0,86	0,86	0,86	0,86	0,86	0,86	°15
0,77	0,78	0,78	0,78	0,78	0,82	0,85	0,85	0,85	0,86	0,86	0,86	0,86	0,86	0,87	0,87	0,87	0,78	0,69	0,69	0,69	0,73	0,77	0,77	°10
0,77	0,78	0,78	0,78	0,78	0,82	0,85	0,85	0,85	0,86	0,86	0,86	0,86	0,86	0,87	0,87	0,87	0,78	0,69	0,69	0,69	0,73	0,77	0,77	°5
0,78	0,78	0,78	0,78	0,78	0,80	0,83	0,83	0,83	0,84	0,86	0,86	0,86	0,85	0,86	0,86	0,86	0,76	0,66	0,66	0,66	0,72	0,78	0,78	°0

التوصية ITU-R P.1239-4

الجدول 2 (تابع)

ج) تغير $R_{12} > 100$: القيمة العشرية الدنيا، شتاءً، f_{oF2}

الوقت المحلي (بالساعات)																							خط العرض	
23	22	21	20	19	18	17	16	15	14	13	12	11	10	09	08	07	06	05	04	03	02	01	00	
0,68	0,68	0,68	0,68	0,68	0,68	0,68	0,68	0,68	0,68	0,68	0,68	0,68	0,68	0,68	0,68	0,68	0,68	0,68	0,68	0,68	0,68	0,68	°90	
0,65	0,68	0,70	0,70	0,70	0,68	0,66	0,66	0,66	0,67	0,68	0,68	0,69	0,71	0,71	0,71	0,70	0,69	0,69	0,69	0,67	0,65	0,65	°85	
0,62	0,68	0,73	0,73	0,73	0,68	0,64	0,64	0,64	0,66	0,67	0,67	0,67	0,70	0,74	0,74	0,74	0,72	0,70	0,70	0,70	0,66	0,62	0,62	°80
0,66	0,71	0,76	0,76	0,76	0,72	0,68	0,68	0,68	0,69	0,70	0,70	0,70	0,73	0,76	0,76	0,76	0,74	0,72	0,72	0,72	0,69	0,66	0,66	°75
0,69	0,74	0,78	0,78	0,78	0,75	0,72	0,72	0,72	0,72	0,72	0,72	0,74	0,77	0,77	0,77	0,76	0,74	0,74	0,74	0,72	0,69	0,69	0,69	°70
0,73	0,76	0,80	0,80	0,80	0,78	0,76	0,76	0,76	0,76	0,76	0,76	0,76	0,78	0,79	0,79	0,79	0,78	0,76	0,76	0,76	0,74	0,73	0,73	°65
0,77	0,80	0,82	0,82	0,82	0,80	0,79	0,79	0,79	0,80	0,80	0,80	0,80	0,81	0,81	0,81	0,80	0,78	0,78	0,78	0,78	0,77	0,77	0,77	°60
0,80	0,82	0,84	0,84	0,84	0,83	0,82	0,82	0,82	0,83	0,84	0,84	0,84	0,83	0,82	0,82	0,82	0,80	0,79	0,79	0,79	0,80	0,80	0,80	°55
0,83	0,84	0,86	0,86	0,86	0,85	0,84	0,84	0,84	0,86	0,87	0,87	0,87	0,86	0,84	0,84	0,84	0,82	0,80	0,80	0,80	0,82	0,83	0,83	°50
0,84	0,85	0,86	0,86	0,86	0,86	0,86	0,86	0,86	0,87	0,88	0,88	0,88	0,87	0,86	0,86	0,86	0,83	0,80	0,80	0,80	0,82	0,84	0,84	°45
0,86	0,86	0,87	0,87	0,87	0,87	0,87	0,87	0,87	0,88	0,90	0,90	0,90	0,88	0,87	0,87	0,87	0,84	0,81	0,81	0,81	0,84	0,86	0,86	°40
0,84	0,85	0,86	0,86	0,86	0,87	0,88	0,88	0,88	0,89	0,90	0,90	0,90	0,89	0,88	0,88	0,88	0,83	0,78	0,78	0,78	0,81	0,84	0,84	°35
0,83	0,84	0,86	0,86	0,86	0,87	0,88	0,88	0,88	0,89	0,90	0,90	0,90	0,89	0,89	0,89	0,89	0,82	0,76	0,76	0,76	0,80	0,83	0,83	°30
0,80	0,82	0,84	0,84	0,84	0,86	0,88	0,88	0,88	0,89	0,90	0,90	0,90	0,89	0,89	0,89	0,89	0,81	0,73	0,73	0,73	0,76	0,80	0,80	°25
0,78	0,80	0,83	0,83	0,83	0,86	0,89	0,89	0,89	0,89	0,89	0,89	0,89	0,89	0,89	0,89	0,89	0,80	0,70	0,70	0,70	0,74	0,78	0,78	°20
0,80	0,82	0,84	0,84	0,84	0,86	0,89	0,89	0,89	0,90	0,90	0,90	0,90	0,89	0,89	0,89	0,89	0,81	0,73	0,73	0,73	0,76	0,80	0,80	°15
0,83	0,84	0,84	0,84	0,84	0,86	0,89	0,89	0,89	0,90	0,90	0,90	0,90	0,89	0,89	0,89	0,89	0,82	0,76	0,76	0,76	0,80	0,83	0,83	°10
0,83	0,84	0,84	0,84	0,84	0,86	0,89	0,89	0,89	0,90	0,90	0,90	0,90	0,89	0,89	0,89	0,89	0,82	0,76	0,76	0,76	0,80	0,83	0,83	°5
0,82	0,82	0,81	0,81	0,81	0,84	0,87	0,87	0,87	0,88	0,90	0,90	0,90	0,89	0,88	0,88	0,88	0,82	0,78	0,78	0,78	0,80	0,82	0,82	°0

الجدول 2 (تابع)

د) تغير f_{oF2} : القيمة العشرية الدنيا، فصل الاعتدال، $R_{12} < 50$

الوقت المحلي (بالساعات)																							خط العرض
23	22	21	20	19	18	17	16	15	14	13	12	11	10	09	08	07	06	05	04	03	02	01	00
0,69	0,69	0,69	0,69	0,69	0,69	0,69	0,69	0,69	0,69	0,69	0,69	0,69	0,69	0,69	0,69	0,69	0,69	0,69	0,69	0,69	0,69	0,69	°90
0,68	0,68	0,67	0,67	0,67	0,70	0,74	0,74	0,74	0,72	0,71	0,71	0,71	0,72	0,72	0,72	0,72	0,71	0,70	0,70	0,70	0,70	0,68	°85
0,67	0,66	0,65	0,65	0,65	0,72	0,80	0,80	0,80	0,76	0,73	0,73	0,73	0,74	0,74	0,74	0,74	0,73	0,72	0,72	0,72	0,70	0,67	°80
0,68	0,68	0,67	0,67	0,67	0,74	0,81	0,81	0,81	0,78	0,74	0,74	0,74	0,75	0,75	0,75	0,74	0,74	0,74	0,74	0,71	0,68	0,68	°75
0,70	0,70	0,69	0,69	0,69	0,76	0,82	0,82	0,82	0,78	0,74	0,74	0,74	0,75	0,76	0,76	0,76	0,76	0,75	0,75	0,75	0,72	0,70	°70
0,72	0,72	0,71	0,71	0,71	0,76	0,82	0,82	0,82	0,78	0,74	0,74	0,74	0,76	0,78	0,78	0,78	0,77	0,76	0,76	0,76	0,74	0,72	°65
0,73	0,73	0,73	0,73	0,73	0,77	0,81	0,81	0,81	0,78	0,75	0,75	0,75	0,78	0,80	0,80	0,80	0,79	0,78	0,78	0,78	0,76	0,73	°60
0,74	0,74	0,74	0,74	0,74	0,78	0,81	0,81	0,81	0,78	0,76	0,76	0,76	0,78	0,80	0,80	0,80	0,80	0,79	0,79	0,79	0,76	0,74	°55
0,75	0,76	0,76	0,76	0,76	0,78	0,81	0,81	0,81	0,78	0,76	0,76	0,76	0,78	0,81	0,81	0,81	0,80	0,80	0,80	0,80	0,78	0,75	°50
0,76	0,76	0,77	0,77	0,77	0,78	0,80	0,80	0,80	0,78	0,76	0,76	0,76	0,78	0,81	0,81	0,81	0,80	0,80	0,80	0,80	0,78	0,76	°45
0,77	0,78	0,78	0,78	0,78	0,79	0,80	0,80	0,80	0,78	0,77	0,77	0,77	0,79	0,81	0,81	0,81	0,81	0,81	0,81	0,81	0,79	0,77	°40
0,78	0,77	0,76	0,76	0,76	0,78	0,80	0,80	0,80	0,79	0,78	0,78	0,78	0,80	0,82	0,82	0,82	0,81	0,80	0,80	0,80	0,79	0,78	°35
0,78	0,76	0,74	0,74	0,74	0,78	0,81	0,81	0,81	0,80	0,78	0,78	0,78	0,80	0,82	0,82	0,82	0,81	0,80	0,80	0,80	0,79	0,78	°30
0,78	0,75	0,72	0,72	0,72	0,77	0,82	0,82	0,82	0,81	0,80	0,80	0,81	0,82	0,82	0,82	0,80	0,78	0,78	0,78	0,78	0,78	0,78	°25
0,77	0,73	0,69	0,69	0,69	0,76	0,83	0,83	0,83	0,82	0,81	0,81	0,81	0,82	0,83	0,83	0,83	0,79	0,75	0,75	0,75	0,76	0,77	°20
0,76	0,74	0,72	0,72	0,72	0,78	0,84	0,84	0,84	0,84	0,85	0,85	0,85	0,84	0,84	0,84	0,84	0,77	0,70	0,70	0,70	0,73	0,76	°15
0,76	0,76	0,75	0,75	0,75	0,80	0,86	0,86	0,86	0,86	0,89	0,89	0,89	0,88	0,86	0,86	0,86	0,76	0,66	0,66	0,66	0,71	0,76	°10
0,76	0,76	0,75	0,75	0,75	0,80	0,86	0,86	0,86	0,86	0,89	0,89	0,89	0,88	0,86	0,86	0,86	0,76	0,66	0,66	0,66	0,71	0,76	°5
0,76	0,76	0,75	0,75	0,75	0,80	0,86	0,86	0,86	0,86	0,89	0,89	0,89	0,88	0,86	0,86	0,86	0,76	0,66	0,66	0,66	0,71	0,76	°0

النوصية ITU-R P.1239-4

الجدول 2 (تابع)

هـ) تغير $foF2$: القيمة العشرية الدنيا، فصل الاعتدال، $50 \leq R_{12} \leq 100$ ، هـ

الوقت المحلي (بالساعات)																							خط العرض
23	22	21	20	19	18	17	16	15	14	13	12	11	10	09	08	07	06	05	04	03	02	01	00
0,69	0,69	0,69	0,69	0,69	0,69	0,69	0,69	0,69	0,69	0,69	0,69	0,69	0,69	0,69	0,69	0,69	0,69	0,69	0,69	0,69	0,69	0,69	°90
0,66	0,68	0,68	0,68	0,68	0,70	0,72	0,72	0,72	0,72	0,72	0,72	0,72	0,71	0,71	0,71	0,68	0,65	0,65	0,65	0,64	0,64	0,66	°85
0,64	0,66	0,67	0,67	0,67	0,70	0,74	0,74	0,74	0,74	0,74	0,74	0,74	0,73	0,73	0,73	0,67	0,61	0,61	0,61	0,62	0,64	0,64	°80
0,66	0,67	0,68	0,68	0,68	0,72	0,76	0,76	0,76	0,75	0,74	0,74	0,74	0,75	0,75	0,75	0,70	0,66	0,66	0,66	0,66	0,66	0,66	°75
0,68	0,69	0,70	0,70	0,70	0,74	0,78	0,78	0,78	0,76	0,74	0,74	0,74	0,76	0,77	0,77	0,74	0,71	0,71	0,71	0,70	0,68	0,68	°70
0,69	0,70	0,72	0,72	0,75	0,78	0,78	0,78	0,76	0,73	0,73	0,73	0,76	0,78	0,78	0,78	0,76	0,73	0,73	0,73	0,71	0,69	0,69	°65
0,70	0,72	0,73	0,73	0,73	0,76	0,78	0,78	0,75	0,72	0,72	0,72	0,76	0,80	0,80	0,80	0,78	0,75	0,75	0,75	0,72	0,70	0,70	°60
0,72	0,73	0,74	0,74	0,74	0,76	0,77	0,77	0,75	0,73	0,73	0,73	0,77	0,80	0,80	0,80	0,78	0,76	0,76	0,76	0,74	0,72	0,72	°55
0,73	0,74	0,75	0,75	0,75	0,76	0,76	0,76	0,75	0,74	0,74	0,74	0,78	0,81	0,81	0,81	0,79	0,77	0,77	0,77	0,75	0,73	0,73	°50
0,74	0,75	0,76	0,76	0,76	0,76	0,76	0,76	0,76	0,76	0,76	0,76	0,79	0,82	0,82	0,82	0,80	0,78	0,78	0,78	0,76	0,74	0,74	°45
0,75	0,76	0,76	0,76	0,76	0,76	0,76	0,76	0,76	0,77	0,78	0,78	0,78	0,80	0,82	0,82	0,80	0,78	0,78	0,78	0,76	0,75	0,75	°40
0,76	0,75	0,74	0,74	0,74	0,76	0,77	0,77	0,77	0,78	0,80	0,80	0,80	0,81	0,82	0,82	0,80	0,77	0,77	0,77	0,76	0,76	0,76	°35
0,77	0,74	0,72	0,72	0,72	0,75	0,78	0,78	0,80	0,83	0,83	0,83	0,82	0,82	0,82	0,82	0,79	0,76	0,76	0,76	0,76	0,77	0,77	°30
0,76	0,73	0,70	0,70	0,70	0,75	0,80	0,80	0,80	0,82	0,85	0,85	0,84	0,83	0,83	0,83	0,79	0,74	0,74	0,74	0,75	0,76	0,76	°25
0,75	0,72	0,69	0,69	0,69	0,76	0,81	0,81	0,81	0,84	0,87	0,87	0,87	0,86	0,84	0,84	0,78	0,73	0,73	0,73	0,74	0,75	0,75	°20
0,77	0,76	0,74	0,74	0,74	0,78	0,82	0,82	0,82	0,85	0,88	0,88	0,88	0,86	0,85	0,85	0,78	0,70	0,70	0,70	0,74	0,77	0,77	°15
0,79	0,80	0,80	0,80	0,80	0,82	0,84	0,84	0,84	0,86	0,89	0,89	0,89	0,88	0,86	0,86	0,77	0,68	0,68	0,68	0,74	0,79	0,79	°10
0,79	0,80	0,80	0,80	0,80	0,82	0,84	0,84	0,84	0,86	0,89	0,89	0,89	0,88	0,86	0,86	0,77	0,68	0,68	0,68	0,74	0,79	0,79	°5
0,79	0,80	0,80	0,80	0,80	0,82	0,84	0,84	0,84	0,86	0,89	0,89	0,89	0,88	0,86	0,86	0,77	0,68	0,68	0,68	0,74	0,79	0,79	°0

الجدول 2 (تابع)

و) تغير foF2: القيمة العشرية الدنيا، فصل الاعتدال، $R_{12} > 100$

الوقت المحلي (بالساعات)																							خط العرض		
23	22	21	20	19	18	17	16	15	14	13	12	11	10	09	08	07	06	05	04	03	02	01	00		
0,69	0,69	0,69	0,69	0,69	0,69	0,69	0,69	0,69	0,69	0,69	0,69	0,69	0,69	0,69	0,69	0,69	0,69	0,69	0,69	0,69	0,69	0,69	°90		
0,68	0,69	0,70	0,70	0,70	0,70	0,70	0,70	0,70	0,68	0,68	0,68	0,68	0,70	0,72	0,72	0,72	0,70	0,68	0,68	0,68	0,68	0,68	°85		
0,66	0,69	0,72	0,72	0,72	0,71	0,70	0,70	0,70	0,68	0,66	0,66	0,66	0,70	0,75	0,75	0,75	0,71	0,67	0,67	0,67	0,66	0,66	°80		
0,66	0,69	0,72	0,72	0,72	0,71	0,70	0,70	0,70	0,69	0,68	0,68	0,68	0,71	0,74	0,74	0,74	0,72	0,69	0,69	0,68	0,66	0,66	°75		
0,67	0,70	0,72	0,72	0,72	0,71	0,70	0,70	0,70	0,70	0,70	0,70	0,70	0,72	0,73	0,73	0,73	0,72	0,71	0,71	0,71	0,69	0,67	°70		
0,68	0,70	0,72	0,72	0,72	0,71	0,70	0,70	0,70	0,70	0,70	0,70	0,70	0,71	0,72	0,72	0,72	0,72	0,73	0,73	0,73	0,70	0,68	0,68	°65	
0,69	0,70	0,72	0,72	0,72	0,71	0,71	0,71	0,71	0,71	0,71	0,71	0,71	0,71	0,71	0,71	0,71	0,73	0,75	0,75	0,75	0,72	0,69	0,69	°60	
0,70	0,71	0,72	0,72	0,72	0,72	0,72	0,72	0,72	0,72	0,72	0,72	0,72	0,71	0,70	0,70	0,70	0,70	0,73	0,76	0,76	0,76	0,73	0,70	0,70	°55
0,71	0,72	0,73	0,73	0,73	0,74	0,74	0,74	0,74	0,74	0,72	0,72	0,72	0,72	0,70	0,70	0,70	0,74	0,78	0,78	0,78	0,74	0,71	0,71	°50	
0,75	0,77	0,78	0,78	0,78	0,78	0,77	0,77	0,77	0,76	0,75	0,75	0,75	0,74	0,72	0,72	0,72	0,76	0,80	0,80	0,80	0,78	0,75	0,75	°45	
0,79	0,82	0,84	0,84	0,84	0,82	0,80	0,80	0,79	0,78	0,78	0,78	0,78	0,76	0,75	0,75	0,75	0,78	0,82	0,82	0,82	0,80	0,79	0,79	°40	
0,80	0,82	0,85	0,85	0,85	0,84	0,84	0,84	0,84	0,83	0,82	0,82	0,82	0,82	0,81	0,81	0,81	0,82	0,82	0,82	0,82	0,81	0,80	0,80	°35	
0,81	0,84	0,86	0,86	0,86	0,87	0,87	0,87	0,87	0,87	0,87	0,87	0,87	0,87	0,87	0,87	0,87	0,84	0,82	0,82	0,82	0,81	0,81	0,81	°30	
0,81	0,83	0,86	0,86	0,86	0,87	0,88	0,88	0,88	0,89	0,90	0,90	0,90	0,89	0,88	0,88	0,88	0,84	0,80	0,80	0,80	0,81	0,81	0,81	°25	
0,81	0,83	0,85	0,85	0,85	0,88	0,90	0,90	0,90	0,91	0,92	0,92	0,92	0,90	0,89	0,89	0,89	0,83	0,77	0,77	0,77	0,79	0,81	0,81	°20	
0,80	0,82	0,84	0,84	0,84	0,87	0,90	0,90	0,90	0,91	0,91	0,91	0,91	0,89	0,88	0,88	0,88	0,73	0,78	0,78	0,78	0,79	0,80	0,80	°15	
0,80	0,81	0,82	0,82	0,82	0,86	0,90	0,90	0,90	0,90	0,90	0,90	0,90	0,88	0,86	0,86	0,86	0,82	0,79	0,79	0,79	0,80	0,80	0,80	°10	
0,80	0,81	0,82	0,82	0,82	0,86	0,90	0,90	0,90	0,90	0,90	0,90	0,90	0,88	0,86	0,86	0,86	0,82	0,79	0,79	0,79	0,80	0,80	0,80	°5	
0,80	0,81	0,82	0,82	0,82	0,86	0,90	0,90	0,90	0,90	0,90	0,90	0,90	0,88	0,86	0,86	0,86	0,82	0,79	0,79	0,79	0,80	0,80	0,80	°0	

ITU-R P.1239-4 التوصية

الجدول 2 (تابع)

ز) تغير $foF2$: القيمة العشرية الدنيا، صيفاً < 50

الجدول 2 (تابع)

ح) تغير $foF2$: القيمة العشرية الدنيا، صيفاً، $50 \leq R_{12} \leq 100$

الوقت المحلي (بالساعات)																							خط العرض	
23	22	21	20	19	18	17	16	15	14	13	12	11	10	09	08	07	06	05	04	03	02	01	00	
0,81	0,81	0,81	0,81	0,81	0,81	0,81	0,81	0,81	0,81	0,81	0,81	0,81	0,81	0,81	0,81	0,81	0,81	0,81	0,81	0,81	0,81	0,81	°90	
0,82	0,80	0,80	0,80	0,80	0,80	0,80	0,80	0,80	0,82	0,83	0,83	0,83	0,82	0,82	0,82	0,82	0,81	0,80	0,80	0,80	0,81	0,82	°85	
0,82	0,80	0,79	0,79	0,79	0,80	0,80	0,80	0,80	0,82	0,85	0,85	0,85	0,84	0,82	0,82	0,82	0,81	0,80	0,80	0,80	0,81	0,82	0,82	°80
0,82	0,81	0,80	0,80	0,80	0,81	0,81	0,81	0,82	0,84	0,84	0,84	0,82	0,80	0,80	0,80	0,81	0,81	0,81	0,81	0,82	0,82	0,82	°75	
0,83	0,82	0,82	0,82	0,82	0,82	0,82	0,82	0,82	0,82	0,82	0,82	0,80	0,79	0,79	0,79	0,80	0,82	0,82	0,82	0,82	0,83	0,83	°70	
0,83	0,83	0,82	0,82	0,82	0,82	0,82	0,82	0,82	0,81	0,80	0,80	0,80	0,79	0,78	0,78	0,78	0,80	0,82	0,82	0,82	0,82	0,83	0,83	°65
0,83	0,83	0,83	0,83	0,82	0,82	0,82	0,82	0,82	0,80	0,79	0,79	0,79	0,78	0,77	0,77	0,77	0,80	0,82	0,82	0,82	0,82	0,83	0,83	°60
0,82	0,82	0,82	0,82	0,82	0,82	0,82	0,82	0,82	0,80	0,78	0,78	0,78	0,77	0,76	0,76	0,76	0,79	0,82	0,82	0,82	0,82	0,82	0,82	°55
0,81	0,82	0,82	0,82	0,82	0,82	0,81	0,81	0,79	0,77	0,77	0,77	0,76	0,76	0,76	0,76	0,78	0,81	0,81	0,81	0,81	0,81	0,81	0,81	°50
0,80	0,80	0,80	0,80	0,80	0,80	0,80	0,80	0,78	0,78	0,78	0,78	0,76	0,76	0,76	0,76	0,78	0,80	0,80	0,80	0,80	0,80	0,80	0,80	°45
0,78	0,78	0,78	0,78	0,78	0,78	0,78	0,78	0,78	0,78	0,78	0,78	0,78	0,76	0,75	0,75	0,75	0,76	0,78	0,78	0,78	0,78	0,78	0,78	°40
0,78	0,77	0,76	0,76	0,76	0,77	0,78	0,78	0,78	0,78	0,78	0,78	0,78	0,76	0,75	0,75	0,75	0,78	0,80	0,80	0,80	0,79	0,78	0,78	°35
0,77	0,76	0,74	0,74	0,74	0,76	0,77	0,77	0,77	0,78	0,79	0,79	0,79	0,77	0,75	0,75	0,75	0,79	0,83	0,83	0,83	0,83	0,80	0,77	°30
0,77	0,75	0,74	0,74	0,74	0,76	0,78	0,78	0,79	0,80	0,80	0,80	0,79	0,76	0,76	0,76	0,76	0,76	0,76	0,76	0,76	0,76	0,77	0,77	°25
0,77	0,75	0,73	0,73	0,73	0,73	0,76	0,78	0,78	0,80	0,82	0,82	0,82	0,80	0,78	0,78	0,78	0,74	0,69	0,69	0,69	0,73	0,77	0,77	°20
0,78	0,76	0,75	0,75	0,75	0,77	0,80	0,80	0,80	0,82	0,84	0,84	0,84	0,82	0,81	0,81	0,81	0,74	0,66	0,66	0,66	0,72	0,78	0,78	°15
0,79	0,78	0,77	0,77	0,77	0,79	0,81	0,81	0,81	0,83	0,85	0,85	0,85	0,84	0,84	0,84	0,84	0,74	0,63	0,63	0,63	0,71	0,79	0,79	°10
0,79	0,78	0,77	0,77	0,77	0,79	0,81	0,81	0,81	0,83	0,85	0,85	0,85	0,84	0,84	0,84	0,84	0,74	0,63	0,63	0,63	0,71	0,79	0,79	°5
0,78	0,78	0,78	0,78	0,78	0,80	0,83	0,83	0,83	0,84	0,86	0,86	0,86	0,85	0,86	0,86	0,86	0,76	0,66	0,66	0,66	0,72	0,78	0,78	°0

التوصية ITU-R P.1239-4

(الجدول 2 (تتمة))

$R_{12} > 100$, $f_0 F2$: القيمة العشرية الدنيا، صيفاً، ط) تغير

الوقت المحلي (بالساعات)																							خط العرض
23	22	21	20	19	18	17	16	15	14	13	12	11	10	09	08	07	06	05	04	03	02	01	00
0,78	0,78	0,78	0,78	0,78	0,78	0,78	0,78	0,78	0,78	0,78	0,78	0,78	0,78	0,78	0,78	0,78	0,78	0,78	0,78	0,78	0,78	0,78	°90
0,76	0,76	0,76	0,76	0,76	0,78	0,78	0,78	0,80	0,80	0,80	0,80	0,80	0,80	0,80	0,80	0,78	0,76	0,76	0,76	0,76	0,76	0,76	°85
0,73	0,74	0,75	0,75	0,75	0,77	0,79	0,79	0,81	0,83	0,83	0,83	0,82	0,82	0,82	0,82	0,78	0,74	0,74	0,74	0,74	0,73	0,73	°80
0,74	0,75	0,76	0,76	0,76	0,78	0,80	0,80	0,81	0,82	0,82	0,82	0,80	0,80	0,80	0,80	0,77	0,74	0,74	0,74	0,74	0,74	0,74	°75
0,75	0,76	0,77	0,77	0,77	0,78	0,80	0,80	0,81	0,80	0,80	0,80	0,78	0,77	0,77	0,77	0,76	0,75	0,75	0,75	0,75	0,75	0,75	°70
0,76	0,77	0,78	0,78	0,78	0,79	0,80	0,80	0,80	0,79	0,78	0,78	0,77	0,76	0,76	0,76	0,76	0,76	0,76	0,76	0,76	0,76	0,76	°65
0,77	0,78	0,80	0,80	0,80	0,80	0,80	0,80	0,78	0,77	0,77	0,77	0,76	0,76	0,76	0,76	0,76	0,76	0,76	0,76	0,76	0,76	0,77	°60
0,78	0,80	0,82	0,82	0,82	0,81	0,80	0,80	0,78	0,76	0,76	0,76	0,75	0,74	0,74	0,74	0,75	0,76	0,76	0,76	0,77	0,78	0,78	°55
0,79	0,82	0,84	0,84	0,84	0,82	0,80	0,80	0,78	0,75	0,75	0,75	0,74	0,73	0,73	0,73	0,74	0,76	0,76	0,76	0,78	0,79	0,79	°50
0,80	0,82	0,84	0,84	0,84	0,82	0,80	0,80	0,80	0,77	0,75	0,75	0,75	0,74	0,74	0,74	0,75	0,76	0,76	0,76	0,78	0,80	0,80	°45
0,80	0,82	0,84	0,84	0,84	0,82	0,79	0,79	0,79	0,77	0,75	0,75	0,75	0,75	0,75	0,75	0,76	0,76	0,76	0,76	0,78	0,80	0,80	°40
0,80	0,82	0,84	0,84	0,84	0,82	0,79	0,79	0,79	0,78	0,78	0,78	0,78	0,78	0,78	0,78	0,77	0,76	0,76	0,76	0,78	0,80	0,80	°35
0,81	0,82	0,83	0,83	0,83	0,81	0,79	0,79	0,81	0,81	0,81	0,81	0,82	0,82	0,82	0,82	0,78	0,76	0,76	0,76	0,78	0,81	0,81	°30
0,81	0,81	0,82	0,82	0,82	0,81	0,80	0,80	0,80	0,82	0,84	0,84	0,84	0,84	0,84	0,84	0,80	0,76	0,76	0,76	0,78	0,81	0,81	°25
0,81	0,80	0,80	0,80	0,80	0,81	0,81	0,81	0,84	0,86	0,86	0,86	0,86	0,85	0,85	0,85	0,81	0,77	0,77	0,77	0,79	0,81	0,81	°20
0,80	0,80	0,79	0,79	0,79	0,81	0,83	0,83	0,85	0,88	0,88	0,88	0,87	0,86	0,86	0,86	0,82	0,78	0,78	0,78	0,79	0,80	0,80	°15
0,80	0,79	0,78	0,78	0,78	0,82	0,85	0,85	0,85	0,87	0,89	0,89	0,89	0,88	0,86	0,86	0,82	0,79	0,79	0,79	0,80	0,80	0,80	°10
0,80	0,79	0,78	0,78	0,78	0,82	0,85	0,85	0,85	0,87	0,89	0,89	0,89	0,88	0,86	0,86	0,82	0,79	0,79	0,79	0,80	0,80	0,80	°5
0,82	0,82	0,81	0,81	0,81	0,84	0,87	0,87	0,87	0,88	0,90	0,90	0,90	0,89	0,88	0,88	0,82	0,78	0,78	0,78	0,80	0,82	0,82	°0

الجدول 3

العوامل العشرية العليا لتغيرات $foF2$ في الشهر(أ) تغير $foF2$: القيمة العشرية العليا، شتاءً، $R_{12} < 50$

الوقت المحلي (بالساعات)																							خط العرض	
23	22	21	20	19	18	17	16	15	14	13	12	11	10	09	08	07	06	05	04	03	02	01	00	
1,38	1,38	1,38	1,38	1,38	1,38	1,38	1,38	1,38	1,38	1,38	1,38	1,38	1,38	1,38	1,38	1,38	1,38	1,38	1,38	1,38	1,38	1,38	°90	
1,41	1,40	1,39	1,39	1,39	1,37	1,36	1,36	1,36	1,35	1,35	1,35	1,35	1,38	1,42	1,42	1,42	1,39	1,36	1,36	1,36	1,38	1,41	1,41	°85
1,44	1,42	1,40	1,40	1,40	1,36	1,33	1,33	1,33	1,32	1,32	1,32	1,32	1,38	1,45	1,45	1,45	1,40	1,34	1,34	1,34	1,39	1,44	1,44	°80
1,40	1,39	1,38	1,38	1,38	1,33	1,28	1,28	1,28	1,28	1,28	1,28	1,28	1,34	1,42	1,42	1,42	1,37	1,32	1,32	1,32	1,36	1,40	1,40	°75
1,37	1,36	1,35	1,35	1,35	1,30	1,24	1,24	1,24	1,24	1,23	1,23	1,23	1,30	1,38	1,38	1,38	1,34	1,29	1,29	1,29	1,33	1,37	1,37	°70
1,34	1,33	1,32	1,32	1,32	1,26	1,20	1,20	1,20	1,20	1,19	1,19	1,19	1,26	1,32	1,32	1,32	1,30	1,26	1,26	1,26	1,30	1,34	1,34	°65
1,30	1,30	1,30	1,30	1,30	1,24	1,17	1,17	1,17	1,16	1,15	1,15	1,15	1,21	1,27	1,27	1,27	1,26	1,24	1,24	1,24	1,27	1,30	1,30	°60
1,28	1,28	1,28	1,28	1,28	1,21	1,14	1,14	1,14	1,14	1,14	1,14	1,14	1,18	1,22	1,22	1,22	1,22	1,22	1,22	1,22	1,25	1,28	1,28	°55
1,25	1,25	1,25	1,25	1,25	1,18	1,12	1,12	1,12	1,12	1,12	1,12	1,12	1,14	1,16	1,16	1,16	1,18	1,21	1,21	1,21	1,23	1,25	1,25	°50
1,24	1,24	1,24	1,24	1,24	1,18	1,12	1,12	1,12	1,12	1,12	1,12	1,12	1,13	1,14	1,14	1,14	1,18	1,20	1,20	1,20	1,22	1,24	1,24	°45
1,23	1,23	1,23	1,23	1,23	1,17	1,11	1,11	1,11	1,11	1,11	1,11	1,11	1,12	1,13	1,13	1,13	1,18	1,20	1,20	1,20	1,22	1,23	1,23	°40
1,26	1,26	1,26	1,26	1,26	1,20	1,13	1,13	1,13	1,12	1,14	1,14	1,14	1,14	1,14	1,14	1,14	1,20	1,25	1,25	1,25	1,25	1,26	1,26	°35
1,28	1,28	1,28	1,28	1,28	1,22	1,15	1,15	1,15	1,16	1,17	1,17	1,17	1,16	1,15	1,15	1,15	1,22	1,30	1,30	1,30	1,29	1,28	1,28	°30
1,31	1,30	1,30	1,30	1,30	1,25	1,20	1,20	1,20	1,19	1,18	1,18	1,18	1,18	1,17	1,17	1,17	1,25	1,34	1,34	1,34	1,32	1,31	1,31	°25
1,34	1,33	1,32	1,32	1,28	1,24	1,24	1,24	1,22	1,20	1,20	1,20	1,20	1,19	1,19	1,19	1,28	1,37	1,37	1,37	1,36	1,34	1,34	°20	
1,30	1,28	1,26	1,26	1,26	1,22	1,19	1,19	1,19	1,18	1,18	1,18	1,18	1,18	1,18	1,18	1,18	1,28	1,38	1,38	1,38	1,34	1,30	1,30	°15
1,27	1,24	1,20	1,20	1,20	1,17	1,14	1,14	1,14	1,14	1,15	1,15	1,15	1,16	1,18	1,18	1,18	1,28	1,38	1,38	1,38	1,32	1,27	1,27	°10
1,27	1,24	1,20	1,20	1,20	1,17	1,14	1,14	1,14	1,14	1,15	1,15	1,15	1,16	1,18	1,18	1,18	1,28	1,38	1,38	1,38	1,32	1,27	1,27	°5
1,24	1,22	1,20	1,20	1,20	1,20	1,20	1,20	1,20	1,21	1,22	1,22	1,22	1,18	1,15	1,15	1,15	1,26	1,38	1,38	1,38	1,30	1,24	1,24	°0

التوصية 4 ITU-R P.1239-4

الجدول 3 (تابع)

ب) تغير $foF2$: القيمة العشرية العليا، شتاءً، $50 \leq R_{12} \leq 100$

الوقت المحلي (بالساعات)																							خط العرض	
23	22	21	20	19	18	17	16	15	14	13	12	11	10	09	08	07	06	05	04	03	02	01	00	
1,41	1,41	1,41	1,41	1,41	1,41	1,41	1,41	1,41	1,41	1,41	1,41	1,41	1,41	1,41	1,41	1,41	1,41	1,41	1,41	1,41	1,41	1,41	°90	
1,43	1,43	1,43	1,43	1,43	1,40	1,37	1,37	1,37	1,38	1,40	1,40	1,40	1,42	1,42	1,42	1,42	1,40	1,40	1,40	1,42	1,43	1,43	°85	
1,45	1,45	1,45	1,45	1,45	1,39	1,33	1,33	1,33	1,36	1,40	1,40	1,40	1,42	1,44	1,44	1,44	1,42	1,39	1,39	1,39	1,42	1,45	1,45	°80
1,42	1,42	1,43	1,43	1,43	1,37	1,31	1,31	1,31	1,33	1,36	1,36	1,38	1,40	1,40	1,40	1,38	1,35	1,35	1,35	1,38	1,42	1,42	°75	
1,39	1,40	1,41	1,41	1,41	1,35	1,29	1,29	1,29	1,30	1,32	1,32	1,34	1,37	1,37	1,37	1,34	1,31	1,31	1,31	1,35	1,39	1,39	°70	
1,36	1,36	1,37	1,37	1,37	1,32	1,26	1,26	1,26	1,26	1,26	1,26	1,29	1,31	1,31	1,31	1,29	1,28	1,28	1,28	1,32	1,36	1,36	°65	
1,33	1,33	1,33	1,33	1,33	1,28	1,22	1,22	1,22	1,22	1,21	1,21	1,21	1,23	1,25	1,25	1,25	1,24	1,24	1,24	1,28	1,33	1,33	°60	
1,32	1,31	1,31	1,31	1,31	1,25	1,19	1,19	1,19	1,18	1,18	1,18	1,18	1,19	1,20	1,20	1,20	1,20	1,22	1,22	1,22	1,26	1,32	1,32	°55
1,30	1,30	1,29	1,29	1,29	1,22	1,16	1,16	1,16	1,16	1,15	1,15	1,15	1,14	1,14	1,14	1,16	1,19	1,19	1,19	1,24	1,30	1,30	°50	
1,28	1,28	1,28	1,28	1,28	1,22	1,15	1,15	1,15	1,14	1,14	1,14	1,14	1,13	1,13	1,13	1,15	1,18	1,18	1,18	1,23	1,28	1,28	°45	
1,27	1,28	1,28	1,28	1,28	1,21	1,14	1,14	1,14	1,14	1,14	1,14	1,13	1,12	1,12	1,12	1,14	1,17	1,17	1,17	1,22	1,27	1,27	°40	
1,28	1,29	1,30	1,30	1,30	1,23	1,16	1,16	1,16	1,16	1,16	1,16	1,14	1,14	1,14	1,14	1,19	1,24	1,24	1,24	1,26	1,28	1,28	°35	
1,30	1,31	1,32	1,32	1,32	1,25	1,18	1,18	1,18	1,18	1,18	1,18	1,17	1,16	1,16	1,16	1,24	1,31	1,31	1,31	1,30	1,30	1,30	°30	
1,32	1,34	1,36	1,36	1,36	1,29	1,22	1,22	1,22	1,21	1,20	1,20	1,18	1,16	1,16	1,16	1,25	1,34	1,34	1,34	1,33	1,32	1,32	°25	
1,33	1,36	1,40	1,40	1,40	1,33	1,26	1,26	1,26	1,24	1,22	1,22	1,22	1,20	1,17	1,17	1,17	1,28	1,38	1,38	1,38	1,36	1,33	1,33	°20
1,27	1,29	1,32	1,32	1,32	1,26	1,20	1,20	1,20	1,19	1,18	1,18	1,18	1,17	1,16	1,16	1,16	1,24	1,32	1,32	1,32	1,30	1,27	1,27	°15
1,21	1,22	1,23	1,23	1,19	1,15	1,15	1,15	1,14	1,13	1,13	1,13	1,14	1,14	1,14	1,14	1,20	1,26	1,26	1,26	1,24	1,21	1,21	°10	
1,21	1,22	1,23	1,23	1,19	1,15	1,15	1,15	1,14	1,13	1,13	1,13	1,14	1,14	1,14	1,14	1,20	1,26	1,26	1,26	1,24	1,21	1,21	°5	
1,24	1,23	1,22	1,22	1,22	1,22	1,22	1,22	1,22	1,21	1,20	1,20	1,20	1,17	1,12	1,12	1,12	1,24	1,35	1,35	1,34	1,24	1,24	°0	

الجدول 3 (تابع)

ج) تغير Fo_2 : القيمة العشرية العليا، شتاءً، 100 $R_{12} > 100$

الوقت المحلي (بالساعات)																							خط العرض	
23	22	21	20	19	18	17	16	15	14	13	12	11	10	09	08	07	06	05	04	03	02	01	00	
1,38	1,38	1,38	1,38	1,38	1,38	1,38	1,38	1,38	1,38	1,38	1,38	1,38	1,38	1,38	1,38	1,38	1,38	1,38	1,38	1,38	1,38	1,38	°90	
1,37	1,39	1,40	1,40	1,40	1,39	1,39	1,39	1,40	1,40	1,40	1,40	1,40	1,40	1,40	1,40	1,40	1,36	1,32	1,32	1,32	1,35	1,37	1,37	°85
1,36	1,40	1,43	1,43	1,43	1,42	1,40	1,40	1,41	1,42	1,42	1,42	1,42	1,41	1,41	1,41	1,34	1,27	1,27	1,27	1,32	1,32	1,36	1,36	°80
1,34	1,36	1,38	1,38	1,38	1,33	1,28	1,28	1,32	1,36	1,36	1,37	1,38	1,38	1,38	1,32	1,26	1,26	1,26	1,30	1,34	1,34	1,34	1,34	°75
1,31	1,32	1,34	1,34	1,34	1,25	1,16	1,16	1,16	1,23	1,30	1,30	1,30	1,32	1,34	1,34	1,34	1,30	1,25	1,25	1,25	1,28	1,31	1,31	°70
1,28	1,29	1,30	1,30	1,30	1,22	1,14	1,14	1,14	1,19	1,24	1,24	1,24	1,26	1,29	1,29	1,29	1,27	1,24	1,24	1,24	1,26	1,28	1,28	°65
1,26	1,26	1,26	1,26	1,18	1,11	1,11	1,11	1,14	1,18	1,18	1,18	1,21	1,24	1,24	1,24	1,24	1,23	1,23	1,23	1,24	1,26	1,26	1,26	°60
1,22	1,23	1,23	1,23	1,23	1,16	1,10	1,10	1,10	1,12	1,14	1,14	1,14	1,17	1,20	1,20	1,20	1,21	1,21	1,21	1,21	1,22	1,22	1,22	°55
1,19	1,20	1,20	1,20	1,14	1,09	1,09	1,09	1,10	1,11	1,11	1,11	1,14	1,16	1,16	1,16	1,18	1,19	1,19	1,19	1,19	1,19	1,19	1,19	°50
1,17	1,17	1,17	1,17	1,17	1,13	1,09	1,09	1,09	1,10	1,10	1,10	1,10	1,12	1,14	1,14	1,15	1,16	1,16	1,16	1,16	1,17	1,17	1,17	°45
1,15	1,14	1,14	1,14	1,14	1,12	1,09	1,09	1,09	1,09	1,09	1,09	1,11	1,13	1,13	1,13	1,14	1,14	1,14	1,14	1,14	1,15	1,15	1,15	°40
1,18	1,16	1,14	1,14	1,14	1,12	1,10	1,10	1,10	1,09	1,09	1,09	1,11	1,12	1,12	1,12	1,16	1,20	1,20	1,20	1,19	1,18	1,18	1,18	°35
1,22	1,18	1,13	1,13	1,13	1,12	1,11	1,11	1,11	1,10	1,09	1,09	1,09	1,10	1,12	1,12	1,12	1,19	1,26	1,26	1,26	1,24	1,22	1,22	°30
1,27	1,22	1,16	1,16	1,16	1,14	1,12	1,12	1,12	1,11	1,10	1,10	1,10	1,11	1,12	1,12	1,12	1,21	1,30	1,30	1,30	1,29	1,27	1,27	°25
1,32	1,26	1,20	1,20	1,20	1,17	1,14	1,14	1,14	1,13	1,12	1,12	1,12	1,12	1,12	1,12	1,24	1,35	1,35	1,35	1,34	1,32	1,32	1,32	°20
1,25	1,22	1,20	1,20	1,20	1,17	1,14	1,14	1,14	1,13	1,12	1,12	1,12	1,13	1,13	1,13	1,22	1,30	1,30	1,30	1,28	1,25	1,25	1,25	°15
1,18	1,19	1,20	1,20	1,20	1,18	1,15	1,15	1,15	1,14	1,13	1,13	1,13	1,14	1,14	1,14	1,20	1,25	1,25	1,25	1,22	1,18	1,18	1,18	°10
1,18	1,19	1,20	1,20	1,18	1,15	1,15	1,15	1,15	1,14	1,13	1,13	1,13	1,14	1,14	1,14	1,20	1,25	1,25	1,25	1,22	1,18	1,18	1,18	°5
1,22	1,22	1,22	1,22	1,22	1,20	1,18	1,18	1,18	1,17	1,15	1,15	1,15	1,14	1,14	1,14	1,14	1,18	1,23	1,23	1,23	1,22	1,20	1,20	°0

النوصية ITU-R P.1239-4

الجدول 3 (تابع)

د) تغير f_{oF2} : القيمة العشرية العليا، فصل الاعتدال، $R_{12} < 50$

الوقت المحلي (بالساعات)																							خط العرض	
23	22	21	20	19	18	17	16	15	14	13	12	11	10	09	08	07	06	05	04	03	02	01	00	
1,35	1,35	1,35	1,35	1,35	1,35	1,35	1,35	1,35	1,35	1,35	1,35	1,35	1,35	1,35	1,35	1,35	1,35	1,35	1,35	1,35	1,35	1,35	°90	
1,38	1,40	1,42	1,42	1,42	1,38	1,34	1,34	1,34	1,32	1,30	1,30	1,30	1,32	1,32	1,32	1,32	1,32	1,34	1,34	1,36	1,38	1,38	°85	
1,42	1,45	1,48	1,48	1,48	1,40	1,33	1,33	1,33	1,30	1,26	1,26	1,26	1,28	1,29	1,29	1,29	1,30	1,32	1,32	1,37	1,42	1,42	°80	
1,40	1,42	1,44	1,44	1,44	1,36	1,30	1,30	1,30	1,27	1,24	1,24	1,24	1,26	1,27	1,27	1,27	1,28	1,28	1,28	1,34	1,40	1,40	°75	
1,38	1,39	1,40	1,40	1,40	1,33	1,26	1,26	1,26	1,24	1,23	1,23	1,23	1,24	1,25	1,25	1,25	1,25	1,25	1,25	1,32	1,38	1,38	°70	
1,35	1,36	1,36	1,36	1,36	1,30	1,23	1,23	1,23	1,22	1,22	1,22	1,22	1,23	1,24	1,24	1,24	1,24	1,23	1,23	1,23	1,29	1,35	1,35	°65
1,32	1,32	1,31	1,31	1,31	1,26	1,20	1,20	1,20	1,20	1,20	1,20	1,20	1,21	1,22	1,22	1,22	1,22	1,21	1,21	1,21	1,26	1,32	1,32	°60
1,29	1,29	1,28	1,28	1,28	1,23	1,18	1,18	1,18	1,18	1,19	1,19	1,19	1,20	1,21	1,21	1,21	1,21	1,20	1,20	1,20	1,24	1,29	1,29	°55
1,26	1,26	1,26	1,26	1,26	1,21	1,16	1,16	1,16	1,17	1,18	1,18	1,18	1,19	1,20	1,20	1,20	1,20	1,19	1,19	1,22	1,26	1,26	°50	
1,24	1,25	1,26	1,26	1,26	1,21	1,16	1,16	1,16	1,17	1,17	1,17	1,17	1,18	1,20	1,20	1,20	1,20	1,20	1,20	1,22	1,24	1,24	°45	
1,22	1,24	1,25	1,25	1,25	1,20	1,16	1,16	1,16	1,16	1,16	1,16	1,16	1,18	1,19	1,19	1,19	1,20	1,20	1,20	1,20	1,21	1,22	1,22	°40
1,22	1,24	1,26	1,26	1,26	1,21	1,16	1,16	1,16	1,16	1,16	1,16	1,16	1,17	1,18	1,18	1,18	1,21	1,23	1,23	1,23	1,22	1,22	1,22	°35
1,22	1,26	1,28	1,28	1,28	1,22	1,16	1,16	1,16	1,15	1,15	1,15	1,15	1,16	1,18	1,18	1,18	1,22	1,26	1,26	1,26	1,24	1,22	1,22	°30
1,26	1,28	1,30	1,30	1,30	1,24	1,17	1,17	1,17	1,16	1,14	1,14	1,14	1,16	1,17	1,17	1,17	1,23	1,29	1,29	1,29	1,28	1,26	1,26	°25
1,30	1,32	1,33	1,33	1,33	1,26	1,18	1,18	1,18	1,16	1,14	1,14	1,14	1,15	1,16	1,16	1,16	1,24	1,32	1,32	1,31	1,30	1,30	1,30	°20
1,26	1,26	1,24	1,24	1,24	1,21	1,18	1,18	1,18	1,16	1,14	1,14	1,14	1,14	1,14	1,14	1,14	1,25	1,36	1,36	1,31	1,26	1,26	1,15	
1,23	1,20	1,16	1,16	1,16	1,18	1,19	1,19	1,19	1,16	1,13	1,13	1,13	1,13	1,13	1,13	1,13	1,26	1,40	1,40	1,40	1,32	1,23	1,23	°10
1,23	1,20	1,16	1,16	1,16	1,18	1,19	1,19	1,19	1,16	1,13	1,13	1,13	1,13	1,13	1,13	1,13	1,26	1,40	1,40	1,40	1,32	1,23	1,23	°5
1,23	1,20	1,16	1,16	1,16	1,18	1,19	1,19	1,19	1,16	1,13	1,13	1,13	1,13	1,13	1,13	1,13	1,26	1,40	1,40	1,40	1,32	1,23	1,23	°0

الجدول 3 (تابع)

هـ) تغير $foF2$: القيمة العشرية العليا، فصل الاعتدال، $50 \leq R_{12} \leq 100$

الوقت المحلي (بالساعات)																							خط العرض	
23	22	21	20	19	18	17	16	15	14	13	12	11	10	09	08	07	06	05	04	03	02	01	00	
1,35	1,35	1,35	1,35	1,35	1,35	1,35	1,35	1,35	1,35	1,35	1,35	1,35	1,35	1,35	1,35	1,35	1,35	1,35	1,35	1,35	1,35	1,35	°90	
1,40	1,40	1,41	1,41	1,41	1,36	1,32	1,32	1,32	1,32	1,32	1,32	1,32	1,31	1,31	1,31	1,32	1,33	1,33	1,33	1,36	1,40	1,40	°85	
1,45	1,46	1,47	1,47	1,47	1,38	1,30	1,30	1,30	1,29	1,28	1,28	1,28	1,27	1,27	1,27	1,29	1,31	1,31	1,31	1,38	1,45	1,45	°80	
1,43	1,42	1,42	1,42	1,42	1,35	1,28	1,28	1,28	1,27	1,27	1,27	1,26	1,25	1,25	1,25	1,25	1,26	1,26	1,26	1,35	1,43	1,43	°75	
1,41	1,40	1,38	1,38	1,38	1,32	1,26	1,26	1,26	1,26	1,26	1,26	1,24	1,23	1,23	1,23	1,22	1,22	1,22	1,22	1,32	1,41	1,41	°70	
1,38	1,36	1,34	1,34	1,34	1,28	1,22	1,22	1,22	1,23	1,24	1,24	1,24	1,23	1,22	1,22	1,22	1,20	1,20	1,20	1,20	1,29	1,38	1,38	°65
1,35	1,32	1,29	1,29	1,29	1,24	1,18	1,18	1,18	1,20	1,23	1,23	1,23	1,22	1,20	1,20	1,20	1,18	1,17	1,17	1,17	1,26	1,35	1,35	°60
1,32	1,28	1,24	1,24	1,24	1,20	1,16	1,16	1,16	1,19	1,22	1,22	1,22	1,20	1,18	1,18	1,18	1,17	1,16	1,16	1,16	1,24	1,32	1,32	°55
1,28	1,24	1,20	1,20	1,20	1,16	1,13	1,13	1,13	1,17	1,21	1,21	1,21	1,19	1,17	1,17	1,17	1,16	1,15	1,15	1,15	1,22	1,28	1,28	°50
1,26	1,22	1,18	1,18	1,18	1,15	1,12	1,12	1,12	1,16	1,20	1,20	1,20	1,18	1,16	1,16	1,16	1,16	1,16	1,16	1,16	1,20	1,26	1,26	°45
1,22	1,20	1,17	1,17	1,17	1,14	1,12	1,12	1,12	1,15	1,18	1,18	1,18	1,17	1,16	1,16	1,16	1,16	1,16	1,16	1,16	1,19	1,22	1,22	°40
1,22	1,21	1,20	1,20	1,20	1,16	1,13	1,13	1,13	1,15	1,18	1,18	1,18	1,17	1,16	1,16	1,16	1,17	1,19	1,19	1,19	1,20	1,22	1,22	°35
1,22	1,22	1,23	1,23	1,23	1,18	1,14	1,14	1,14	1,16	1,17	1,17	1,17	1,16	1,15	1,15	1,15	1,18	1,22	1,22	1,22	1,22	1,22	1,22	°30
1,27	1,28	1,30	1,30	1,30	1,23	1,16	1,16	1,16	1,16	1,16	1,16	1,15	1,14	1,14	1,14	1,20	1,26	1,26	1,26	1,27	1,27	1,27	1,27	°25
1,32	1,34	1,37	1,37	1,37	1,27	1,17	1,17	1,17	1,16	1,15	1,15	1,15	1,14	1,13	1,13	1,13	1,22	1,30	1,30	1,30	1,31	1,32	1,32	°20
1,25	1,27	1,30	1,30	1,30	1,24	1,18	1,18	1,18	1,16	1,14	1,14	1,14	1,13	1,12	1,12	1,12	1,23	1,34	1,34	1,34	1,30	1,25	1,25	°15
1,18	1,20	1,23	1,23	1,23	1,22	1,20	1,20	1,20	1,16	1,13	1,13	1,13	1,12	1,11	1,11	1,11	1,25	1,39	1,39	1,39	1,28	1,18	1,18	°10
1,18	1,20	1,23	1,23	1,23	1,22	1,20	1,20	1,20	1,16	1,13	1,13	1,13	1,12	1,11	1,11	1,11	1,25	1,39	1,39	1,39	1,28	1,18	1,18	°5
1,18	1,20	1,23	1,23	1,23	1,22	1,20	1,20	1,20	1,16	1,13	1,13	1,13	1,12	1,11	1,11	1,11	1,25	1,39	1,39	1,39	1,28	1,18	1,18	°0

النوصية ITU-R P.1239-4

الجدول 3 (تابع)

و) تغير $foF2$: القيمة العشرية العليا، فصل الاعتدال، $R_{12} > 100$

الوقت المحلي (بالساعات)																							خط العرض	
23	22	21	20	19	18	17	16	15	14	13	12	11	10	09	08	07	06	05	04	03	02	01	00	
1,40	1,40	1,40	1,40	1,40	1,40	1,40	1,40	1,40	1,40	1,40	1,40	1,40	1,40	1,40	1,40	1,40	1,40	1,40	1,40	1,40	1,40	1,40	°90	
1,43	1,43	1,43	1,43	1,43	1,41	1,39	1,39	1,39	1,40	1,40	1,40	1,40	1,39	1,38	1,38	1,38	1,38	1,38	1,38	1,38	1,41	1,43	°85	
1,46	1,46	1,46	1,46	1,46	1,42	1,38	1,38	1,38	1,40	1,40	1,40	1,38	1,35	1,35	1,35	1,36	1,37	1,37	1,37	1,42	1,46	1,46	°80	
1,44	1,43	1,42	1,42	1,42	1,39	1,36	1,36	1,36	1,36	1,36	1,36	1,34	1,32	1,32	1,32	1,33	1,34	1,34	1,34	1,39	1,44	1,44	°75	
1,42	1,40	1,37	1,37	1,37	1,35	1,33	1,33	1,33	1,32	1,31	1,31	1,31	1,30	1,30	1,30	1,30	1,31	1,31	1,31	1,36	1,42	1,42	°70	
1,36	1,33	1,30	1,30	1,30	1,29	1,29	1,29	1,28	1,28	1,28	1,28	1,28	1,28	1,28	1,28	1,28	1,28	1,28	1,28	1,32	1,36	1,36	°65	
1,30	1,27	1,24	1,24	1,24	1,25	1,25	1,25	1,24	1,24	1,24	1,24	1,26	1,27	1,27	1,27	1,26	1,25	1,25	1,25	1,28	1,30	1,30	°60	
1,24	1,22	1,20	1,20	1,20	1,20	1,20	1,20	1,20	1,21	1,22	1,22	1,24	1,26	1,26	1,26	1,24	1,22	1,22	1,22	1,24	1,24	1,24	°55	
1,18	1,18	1,17	1,17	1,17	1,16	1,16	1,16	1,16	1,18	1,20	1,20	1,20	1,22	1,25	1,25	1,25	1,22	1,20	1,20	1,19	1,18	1,18	°50	
1,16	1,16	1,16	1,16	1,16	1,15	1,14	1,14	1,14	1,16	1,18	1,18	1,18	1,19	1,21	1,21	1,21	1,19	1,18	1,18	1,18	1,17	1,16	1,16	°45
1,15	1,14	1,14	1,14	1,14	1,13	1,12	1,12	1,12	1,14	1,16	1,16	1,16	1,17	1,17	1,17	1,16	1,16	1,16	1,16	1,16	1,15	1,15	°40	
1,20	1,17	1,14	1,14	1,14	1,13	1,12	1,12	1,12	1,12	1,13	1,13	1,13	1,14	1,14	1,14	1,15	1,17	1,17	1,17	1,18	1,20	1,20	°35	
1,25	1,20	1,15	1,15	1,15	1,13	1,11	1,11	1,11	1,10	1,10	1,10	1,10	1,10	1,10	1,10	1,14	1,18	1,18	1,18	1,22	1,25	1,25	°30	
1,28	1,23	1,18	1,18	1,18	1,15	1,12	1,12	1,12	1,11	1,10	1,10	1,10	1,10	1,10	1,10	1,18	1,25	1,25	1,26	1,28	1,28	1,28	°25	
1,31	1,26	1,20	1,20	1,20	1,16	1,12	1,12	1,12	1,12	1,11	1,11	1,11	1,11	1,11	1,11	1,22	1,32	1,32	1,32	1,31	1,31	1,31	°20	
1,26	1,24	1,22	1,22	1,22	1,17	1,13	1,13	1,13	1,14	1,16	1,16	1,16	1,13	1,10	1,10	1,19	1,28	1,28	1,28	1,27	1,26	1,26	°15	
1,21	1,22	1,23	1,23	1,23	1,18	1,14	1,14	1,14	1,17	1,20	1,20	1,20	1,14	1,09	1,09	1,16	1,23	1,23	1,23	1,22	1,21	1,21	°10	
1,21	1,22	1,23	1,23	1,23	1,18	1,14	1,14	1,14	1,17	1,20	1,20	1,20	1,14	1,09	1,09	1,16	1,23	1,23	1,23	1,22	1,21	1,21	°5	
1,21	1,22	1,23	1,23	1,23	1,18	1,14	1,14	1,14	1,17	1,20	1,20	1,20	1,14	1,09	1,09	1,16	1,23	1,23	1,23	1,22	1,21	1,21	°0	

(تابع) الجدول 3

ز) تغير $R_{12} < 50$: القيمة العشرية العليا، صيفاً،

الوقت المحلي (بالساعات)																							خط العرض		
23	22	21	20	19	18	17	16	15	14	13	12	11	10	09	08	07	06	05	04	03	02	01	00		
1,21	1,21	1,21	1,21	1,21	1,21	1,21	1,21	1,21	1,21	1,21	1,21	1,21	1,21	1,21	1,21	1,21	1,21	1,21	1,21	1,21	1,21	1,21	°90		
1,24	1,22	1,22	1,22	1,22	1,22	1,21	1,21	1,21	1,20	1,19	1,19	1,19	1,18	1,18	1,18	1,18	1,20	1,22	1,22	1,22	1,23	1,24	1,24	°85	
1,26	1,24	1,22	1,22	1,22	1,22	1,21	1,21	1,19	1,17	1,17	1,17	1,16	1,15	1,15	1,15	1,20	1,24	1,24	1,24	1,25	1,26	1,26	1,26	°80	
1,24	1,22	1,20	1,20	1,20	1,19	1,18	1,18	1,18	1,17	1,16	1,16	1,16	1,15	1,14	1,14	1,14	1,18	1,21	1,21	1,21	1,22	1,24	1,24	°75	
1,22	1,20	1,18	1,18	1,18	1,17	1,16	1,16	1,16	1,15	1,15	1,15	1,14	1,14	1,14	1,14	1,16	1,18	1,18	1,18	1,20	1,22	1,22	1,22	°70	
1,20	1,18	1,16	1,16	1,16	1,15	1,15	1,15	1,15	1,15	1,15	1,15	1,14	1,14	1,14	1,14	1,16	1,18	1,18	1,18	1,19	1,20	1,20	1,20	°65	
1,18	1,16	1,15	1,15	1,15	1,14	1,14	1,14	1,14	1,15	1,15	1,15	1,14	1,14	1,14	1,14	1,16	1,17	1,17	1,17	1,18	1,18	1,18	1,18	°60	
1,18	1,16	1,15	1,15	1,15	1,14	1,14	1,14	1,14	1,14	1,16	1,16	1,16	1,15	1,14	1,14	1,16	1,18	1,18	1,18	1,18	1,18	1,18	1,18	°55	
1,17	1,16	1,15	1,15	1,15	1,14	1,14	1,14	1,14	1,15	1,16	1,16	1,16	1,15	1,15	1,15	1,18	1,20	1,20	1,20	1,18	1,17	1,17	1,17	°50	
1,17	1,16	1,16	1,16	1,16	1,15	1,14	1,14	1,14	1,15	1,16	1,16	1,16	1,16	1,16	1,16	1,19	1,22	1,22	1,22	1,22	1,20	1,17	1,17	°45	
1,17	1,16	1,16	1,16	1,16	1,15	1,15	1,15	1,15	1,16	1,17	1,17	1,17	1,17	1,17	1,17	1,21	1,25	1,25	1,25	1,21	1,17	1,17	1,17	°40	
1,18	1,18	1,18	1,18	1,18	1,17	1,17	1,17	1,18	1,18	1,18	1,18	1,18	1,17	1,17	1,17	1,22	1,28	1,28	1,28	1,23	1,18	1,18	1,18	°35	
1,18	1,19	1,20	1,20	1,20	1,19	1,19	1,19	1,20	1,20	1,20	1,20	1,18	1,17	1,17	1,17	1,24	1,30	1,30	1,30	1,24	1,18	1,18	1,18	°30	
1,19	1,20	1,22	1,22	1,21	1,20	1,20	1,20	1,21	1,22	1,22	1,22	1,19	1,16	1,16	1,16	1,24	1,32	1,32	1,32	1,26	1,19	1,19	1,19	°25	
1,20	1,22	1,23	1,23	1,23	1,22	1,22	1,22	1,23	1,24	1,24	1,24	1,19	1,14	1,14	1,14	1,24	1,34	1,34	1,34	1,27	1,20	1,20	1,20	°20	
1,20	1,21	1,22	1,22	1,22	1,23	1,24	1,24	1,24	1,26	1,27	1,27	1,27	1,20	1,13	1,13	1,13	1,24	1,36	1,36	1,36	1,28	1,20	1,20	1,20	°15
1,20	1,20	1,20	1,20	1,20	1,24	1,27	1,27	1,28	1,30	1,30	1,30	1,21	1,12	1,12	1,12	1,24	1,37	1,37	1,37	1,28	1,20	1,20	1,20	°10	
1,20	1,20	1,20	1,20	1,20	1,24	1,27	1,27	1,27	1,28	1,30	1,30	1,30	1,21	1,12	1,12	1,24	1,37	1,37	1,37	1,28	1,20	1,20	1,20	°5	
1,24	1,22	1,20	1,20	1,20	1,20	1,20	1,20	1,20	1,20	1,21	1,22	1,22	1,18	1,15	1,15	1,15	1,26	1,38	1,38	1,38	1,30	1,24	1,24	°0	

النوصية ITU-R P.1239-4

الجدول 3 (تابع)

ح) تغير $foF2$: القيمة العشرية العليا، صيفاً، $50 \leq R_{12} \leq 100$

الوقت المحلي (بالساعات)																							خط العرض		
23	22	21	20	19	18	17	16	15	14	13	12	11	10	09	08	07	06	05	04	03	02	01	00		
1,22	1,22	1,22	1,22	1,22	1,22	1,22	1,22	1,22	1,22	1,22	1,22	1,22	1,22	1,22	1,22	1,22	1,22	1,22	1,22	1,22	1,22	1,22	°90		
1,24	1,24	1,22	1,22	1,22	1,23	1,23	1,23	1,23	1,22	1,20	1,20	1,20	1,20	1,21	1,21	1,21	1,22	1,22	1,22	1,22	1,24	1,24	°85		
1,27	1,25	1,23	1,23	1,23	1,24	1,24	1,24	1,24	1,21	1,18	1,18	1,18	1,19	1,20	1,20	1,20	1,22	1,23	1,23	1,23	1,25	1,27	1,27	°80	
1,25	1,23	1,21	1,21	1,21	1,21	1,20	1,20	1,20	1,19	1,18	1,18	1,18	1,19	1,20	1,20	1,20	1,21	1,21	1,21	1,23	1,25	1,25	°75		
1,23	1,21	1,19	1,19	1,19	1,18	1,17	1,17	1,17	1,17	1,17	1,17	1,17	1,18	1,19	1,19	1,19	1,19	1,19	1,19	1,19	1,21	1,23	1,23	°70	
1,22	1,20	1,18	1,18	1,18	1,17	1,16	1,16	1,16	1,16	1,17	1,17	1,17	1,18	1,19	1,19	1,19	1,19	1,18	1,18	1,18	1,20	1,22	1,22	°65	
1,20	1,18	1,17	1,17	1,17	1,16	1,14	1,14	1,14	1,16	1,17	1,17	1,17	1,18	1,19	1,19	1,19	1,18	1,18	1,18	1,18	1,19	1,20	1,20	°60	
1,18	1,17	1,16	1,16	1,16	1,14	1,14	1,14	1,16	1,17	1,17	1,17	1,18	1,20	1,20	1,20	1,19	1,18	1,18	1,18	1,18	1,18	1,18	1,18	°55	
1,17	1,16	1,16	1,16	1,16	1,15	1,15	1,15	1,16	1,17	1,17	1,17	1,19	1,21	1,21	1,21	1,20	1,19	1,19	1,19	1,18	1,17	1,17	1,17	°50	
1,17	1,17	1,16	1,16	1,16	1,16	1,16	1,16	1,16	1,17	1,18	1,18	1,18	1,20	1,22	1,22	1,22	1,21	1,20	1,20	1,20	1,19	1,17	1,17	°45	
1,17	1,17	1,17	1,17	1,17	1,17	1,17	1,17	1,17	1,18	1,18	1,18	1,18	1,20	1,23	1,23	1,23	1,22	1,22	1,22	1,22	1,20	1,17	1,17	°40	
1,18	1,18	1,18	1,18	1,18	1,18	1,18	1,18	1,18	1,18	1,18	1,18	1,18	1,20	1,22	1,22	1,22	1,24	1,26	1,26	1,26	1,22	1,18	1,18	°35	
1,20	1,19	1,18	1,18	1,18	1,19	1,19	1,19	1,19	1,19	1,19	1,19	1,19	1,20	1,22	1,22	1,22	1,26	1,30	1,30	1,30	1,25	1,20	1,20	°30	
1,23	1,23	1,23	1,23	1,23	1,22	1,21	1,21	1,21	1,21	1,21	1,21	1,20	1,20	1,20	1,20	1,27	1,34	1,34	1,34	1,28	1,23	1,23	1,23	°25	
1,26	1,27	1,28	1,28	1,28	1,26	1,23	1,23	1,23	1,23	1,23	1,23	1,20	1,17	1,17	1,17	1,28	1,38	1,38	1,38	1,32	1,26	1,26	1,26	°20	
1,26	1,26	1,25	1,25	1,25	1,25	1,26	1,26	1,26	1,26	1,26	1,26	1,26	1,20	1,14	1,14	1,14	1,28	1,41	1,41	1,41	1,41	1,34	1,26	1,26	°15
1,26	1,24	1,22	1,22	1,22	1,25	1,28	1,28	1,28	1,28	1,28	1,28	1,28	1,20	1,11	1,11	1,11	1,28	1,44	1,44	1,44	1,44	1,35	1,26	1,26	°10
1,26	1,24	1,22	1,22	1,22	1,25	1,28	1,28	1,28	1,28	1,28	1,28	1,28	1,20	1,11	1,11	1,11	1,28	1,44	1,44	1,44	1,44	1,35	1,26	1,26	°5
1,24	1,23	1,22	1,22	1,22	1,22	1,22	1,22	1,22	1,21	1,20	1,20	1,20	1,17	1,12	1,12	1,12	1,24	1,35	1,35	1,34	1,24	1,24	1,24	°0	

(الجدول 3 (تتمة))

$R_{12} > 100$: القيمة العشرية العليا، صيفاً، ط) تغير foF2

الوقت المحلي (بالساعات)																							خط العرض	
23	22	21	20	19	18	17	16	15	14	13	12	11	10	09	08	07	06	05	04	03	02	01	00	
1,23	1,23	1,23	1,23	1,23	1,23	1,23	1,23	1,23	1,23	1,23	1,23	1,23	1,23	1,23	1,23	1,23	1,23	1,23	1,23	1,23	1,23	1,23	°90	
1,26	1,25	1,24	1,24	1,24	1,24	1,23	1,23	1,23	1,21	1,19	1,19	1,19	1,20	1,20	1,20	1,20	1,22	1,25	1,25	1,25	1,26	1,26	°85	
1,30	1,27	1,24	1,24	1,24	1,24	1,23	1,23	1,23	1,19	1,15	1,15	1,15	1,16	1,17	1,17	1,17	1,22	1,27	1,27	1,27	1,28	1,30	1,30	°80
1,26	1,25	1,24	1,24	1,24	1,23	1,22	1,22	1,22	1,19	1,16	1,16	1,16	1,17	1,18	1,18	1,18	1,21	1,24	1,24	1,25	1,26	1,26	°75	
1,22	1,22	1,23	1,23	1,23	1,22	1,21	1,21	1,21	1,20	1,18	1,18	1,18	1,19	1,20	1,20	1,20	1,21	1,22	1,22	1,22	1,22	1,22	°70	
1,19	1,20	1,22	1,22	1,22	1,21	1,20	1,20	1,20	1,20	1,20	1,20	1,20	1,22	1,23	1,23	1,23	1,22	1,20	1,20	1,20	1,20	1,19	1,19	°65
1,16	1,18	1,21	1,21	1,21	1,20	1,19	1,19	1,19	1,20	1,21	1,21	1,21	1,24	1,26	1,26	1,26	1,22	1,18	1,18	1,18	1,17	1,16	1,16	°60
1,15	1,17	1,20	1,20	1,19	1,19	1,19	1,19	1,21	1,24	1,24	1,24	1,24	1,26	1,28	1,28	1,28	1,22	1,16	1,16	1,16	1,16	1,15	1,15	°55
1,14	1,16	1,18	1,18	1,18	1,18	1,19	1,19	1,19	1,22	1,26	1,26	1,26	1,28	1,30	1,30	1,30	1,22	1,15	1,15	1,15	1,14	1,14	1,14	°50
1,14	1,16	1,17	1,17	1,17	1,18	1,19	1,19	1,19	1,23	1,26	1,26	1,26	1,28	1,30	1,30	1,30	1,22	1,14	1,14	1,14	1,14	1,14	1,14	°45
1,14	1,15	1,16	1,16	1,16	1,18	1,19	1,19	1,19	1,23	1,27	1,27	1,27	1,28	1,30	1,30	1,30	1,22	1,14	1,14	1,14	1,14	1,14	1,14	°40
1,15	1,15	1,16	1,16	1,16	1,17	1,18	1,18	1,18	1,21	1,28	1,28	1,28	1,26	1,28	1,28	1,28	1,21	1,14	1,14	1,14	1,15	1,15	1,15	°35
1,16	1,16	1,15	1,15	1,15	1,16	1,17	1,17	1,17	1,18	1,20	1,20	1,20	1,22	1,25	1,25	1,25	1,20	1,15	1,15	1,15	1,16	1,16	1,16	°30
1,18	1,18	1,17	1,17	1,17	1,17	1,18	1,18	1,18	1,18	1,18	1,18	1,18	1,20	1,22	1,22	1,22	1,20	1,18	1,18	1,18	1,18	1,18	1,18	°25
1,21	1,20	1,19	1,19	1,19	1,18	1,18	1,18	1,18	1,16	1,15	1,15	1,15	1,16	1,18	1,18	1,18	1,20	1,22	1,22	1,22	1,22	1,21	1,21	°20
1,23	1,22	1,21	1,21	1,21	1,20	1,20	1,20	1,20	1,18	1,16	1,16	1,16	1,16	1,16	1,16	1,16	1,19	1,22	1,22	1,22	1,22	1,23	1,23	°15
1,25	1,24	1,23	1,23	1,23	1,22	1,22	1,22	1,22	1,20	1,17	1,17	1,17	1,15	1,13	1,13	1,13	1,17	1,21	1,21	1,21	1,23	1,25	1,25	°10
1,25	1,24	1,23	1,23	1,23	1,22	1,22	1,22	1,22	1,20	1,17	1,17	1,17	1,15	1,13	1,13	1,13	1,17	1,21	1,21	1,21	1,23	1,25	1,25	°5
1,22	1,22	1,22	1,22	1,22	1,20	1,18	1,18	1,18	1,17	1,15	1,15	1,15	1,14	1,14	1,14	1,14	1,18	1,23	1,23	1,23	1,22	1,22	1,20	°0